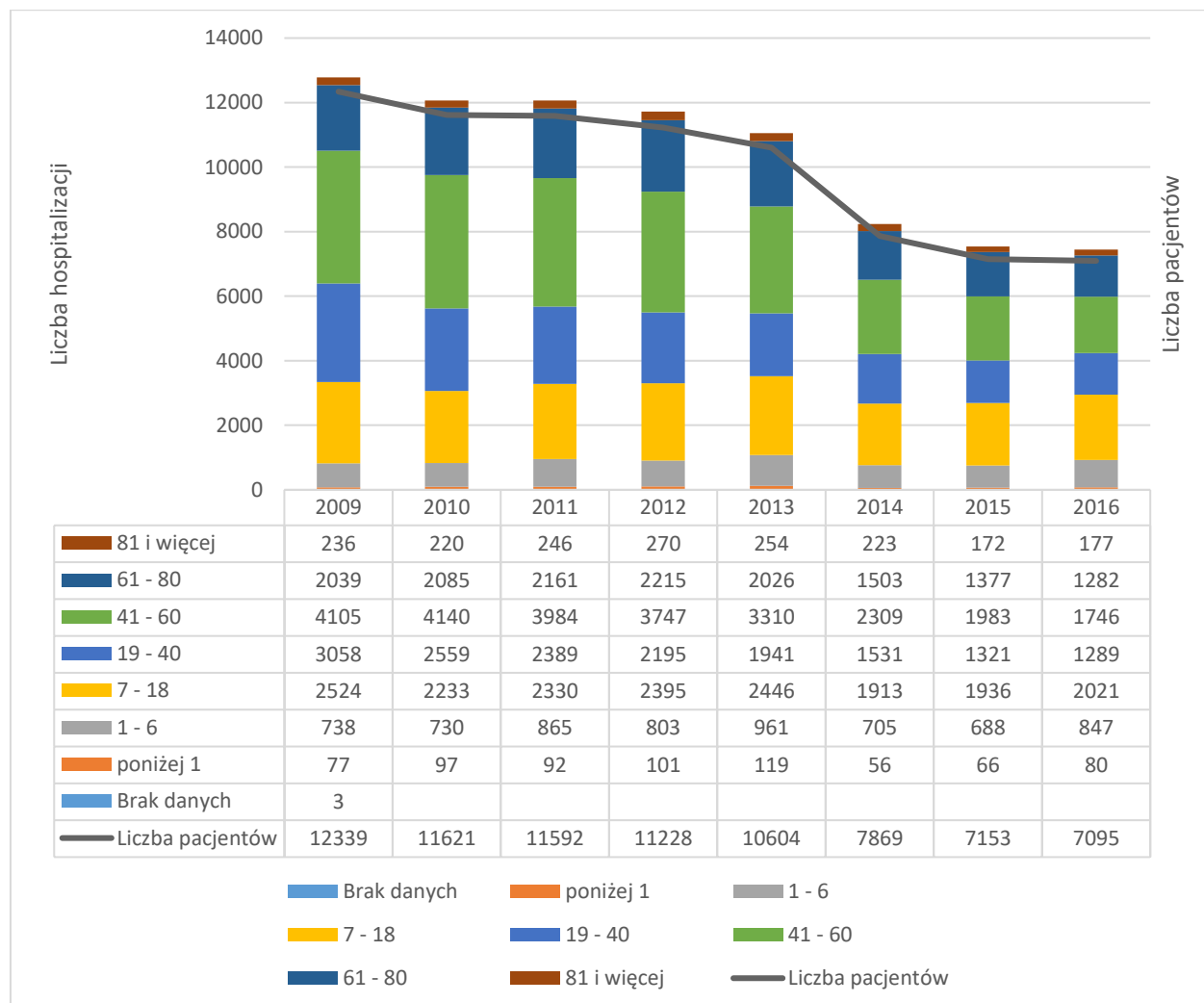


## Załącznik nr 4. Statystyki JGP

### JGP H86

Na poniższym wykresie przedstawiono liczbę hospitalizacji rozliczonych w ramach JGP H86 na przestrzeni lat 2009–2016.

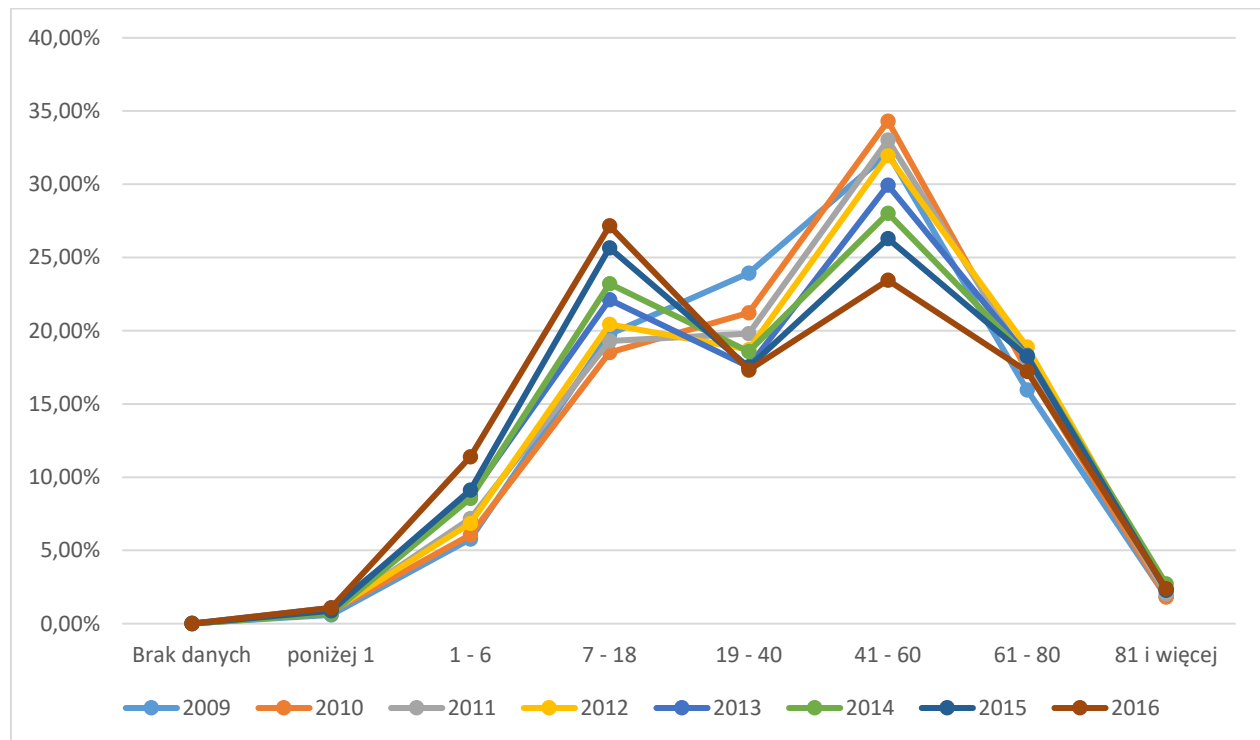


**Rysunek 1. Liczba pacjentów oraz liczba hospitalizacji rozliczonych w ramach JGP H86 na przestrzeni lat 2009–2016 (NFZ, 2017)**

Liczba hospitalizacji malała na przestrzeni analizowanych lat. Równocześnie na przestrzeni analizowanych lat malała liczba pacjentów. Jednak w każdym z analizowanych lat liczba hospitalizacji przekraczała liczbę pacjentów. Współczynnik rehospitalizacji wynosił 1,04 w latach 2009–2013 i 1,05 w latach 2014–2016.

W każdym z analizowanych lat największa liczba hospitalizacji dotyczyła osób w przedziale wiekowym 41–60 lat.

Na poniższym wykresie przedstawiono jak kształtował się udział poszczególnych grup wiekowych w ogólnej liczbie hospitalizacji na przestrzeni analizowanych lat.



**Rysunek 2. Udział poszczególnych grup wiekowych w ogólnej liczbie hospitalizacji rozliczonych w ramach JGP H86 na przestrzeni lat 2009–2016 (NFZ, 2017)**

W każdym z analizowanych lat największa liczba hospitalizacji odbywała się w szpitalach gminnych, powiatowych, miejskich, zaś najmniejsza w szpitalach niepublicznych i innych.

**Tabela 1 Liczba hospitalizacji rozliczonych w ramach JGP H86 na przestrzeni lat 2009–2016 w podziale na typy świadczeniodawców**

Rok/Typ szpitala	Gminny, powiatowy, miejski	Niepubliczne	Kliniczne	Wojewódzkie	Inne	Wszystkie typy szpitali
2009	5 752	531	2 082	4 015	400	12 780
2010	4 795	602	2 092	4 201	374	12 064
2011	4 789	682	2 184	4 020	392	12 067
2012	4 677	772	2 131	3 875	271	11 726
2013	4 621	755	1 944	3 572	165	11 057
2014	3 464	530	1 480	2 655	111	8 240
2015	3 102	539	1 342	2 473	87	7 543
2016	2 818	534	1 554	2 434	97	7 442
Stopa zmiany względem 2009 r. (%)	-51,01%	0,56%	-25,36%	-39,38%	-75,75%	-41,77%

Źródło: opracowanie własne na podstawie danych NFZ (NFZ, 2017)

Spadek liczby hospitalizacji znajduje swoje odzwierciedlenie w udziale JGP w całej sekcji. Szczegółowe dane przedstawiono w poniższej tabeli.

**Tabela 2 Udział grupy H86 w sekcji H na przestrzeni lat 2009–2016**

Rok	2009	2010	2011	2012	2013	2014	2015	2016
Udział JGP w sekcji H	2%	1,85%	1,81%	1,77%	1,68%	1,33%	1,20%	1,18%

Źródło: opracowanie własne na podstawie danych NFZ (NFZ, 2017)

Spadek liczby hospitalizacji może być bezpośrednio związany ze spadkiem średniej wartości przedmiotowej grupy (o ok.568 zł względem roku 2009). Szczegółowe dane dotyczące średniej wartości grupy w poszczególnych typach szpitali przedstawiono w poniżej tabeli. Należy przy tym zauważyć, że najniższa średnia wartość grupy dotyczy szpitali klinicznych (w latach 2009–2013) zaś najwyższa szpitali niepublicznych i wojewódzkich.

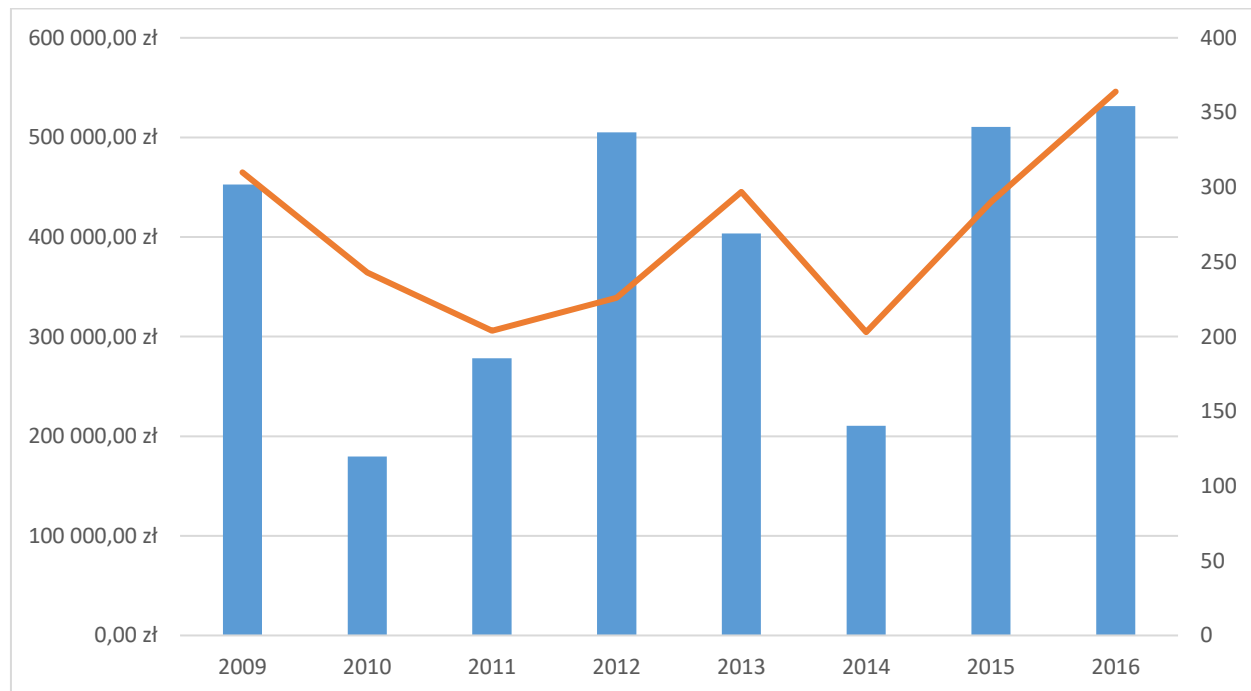
**Tabela 3 Wartość grupy H86 w podziale na typy świadczeniodawców na przestrzeni lat 2009–2016**

Rok/Typ szpitala	Gminny, powiatowy, miejski	Niepubliczne	Kliniczne	Wojewódzkie	Inne	Wszystkie typy szpitali
2009	1 598,27 zł	1 976,79 zł	1 746,35 zł	1 941,17 zł	1 961,21 zł	1 757,21 zł
2010	1 906,13 zł	1 929,53 zł	1 747,68 zł	1 943,10 zł	2 015,13 zł	1 896,07 zł
2011	1 923,69 zł	1 912,53 zł	1 817,55 zł	1 936,66 zł	2 020,22 zł	1 911,31 zł
2012	1 885,81 zł	1 963,91 zł	1 894,45 zł	1 983,70 zł	1 961,25 zł	1 926,61 zł
2013	1 818,67 zł	2 004,58 zł	1 836,46 zł	1 948,57 zł	1 873,26 zł	1 877,27 zł
2014	1 114,70 zł	1 215,90 zł	1 133,99 zł	1 238,32 zł	980,83 zł	1 162,70 zł
2015	1 118,40 zł	1 205,63 zł	1 099,29 zł	1 191,05 zł	1 100,97 zł	1 144,85 zł
2016	1 191,49 zł	1 254,41 zł	1 147,63 zł	1 203,38 zł	1 086,10 zł	1 189,54 zł
Stopa zmiany względem 2009 r. (%)	-25,45%	-36,54%	-34,28%	-38,01%	-44,62%	-32,31%

Źródło: opracowanie własne na podstawie danych NFZ (NFZ, 2017)

Wraz ze spadkiem średniej wartości grupy obserwuje się również spadek średniej wartości hospitalizacji. Średnia wartość hospitalizacji była wyższa od średniej wartości grupy przeciętnie o 40 zł w analizowanym okresie (od 23 zł w 2011 roku do 71 zł w 2016 roku).

Na poniższym wykresie przedstawiono liczbę hospitalizacji związaną z rozliczaniem świadczeń do sumowania oraz ich wartość na przestrzeni lat 2009–2016. Wśród świadczeń do sumowania pojawia się: pobyt w OAiT, przetoczenie preparatów krwi i innych substancji, rehabilitacja, chemioterapia, dializy, leczenie żywieniowe, teleradioterapia, brachyterapia, terapia izotopowa, programy lekowe, konsylium oraz pozostałe świadczenia. Struktura liczby udzielanych do sumowania jest różna w każdym z analizowanych lat.



**Rysunek 3.** Liczba hospitalizacji związana z rozliczaniem świadczeń do sumowania w grupie H86 oraz ich wartość na przestrzeni lat 2009–2016 (NFZ, 2017)

W poniższej tabeli przedstawiono dane dotyczące długości hospitalizacji w podziale na poszczególne kategorie wiekowe. Najdłuższe czasy pobytu dotyczą osób > 61 r.ż.

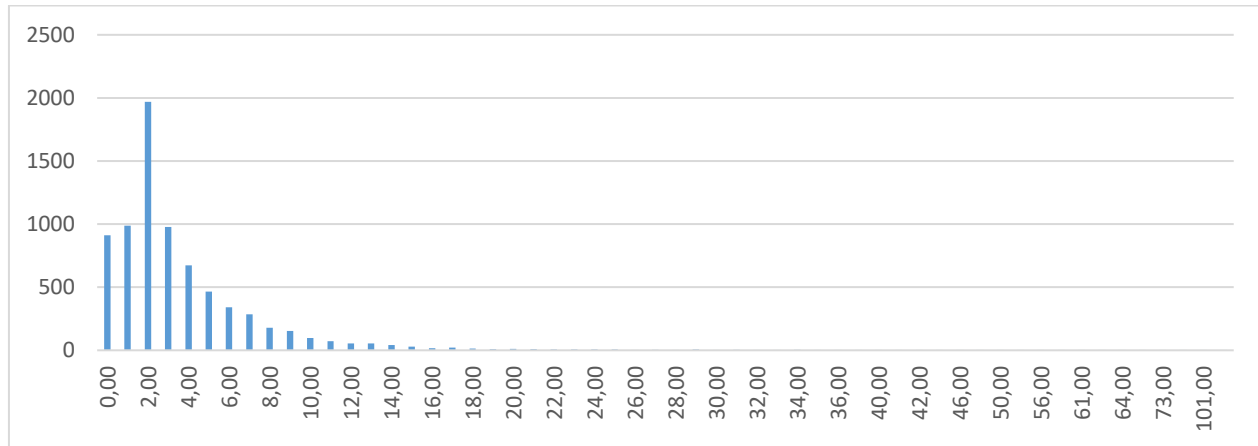
**Tabela 4** Długość hospitalizacji (mediana) rozliczanych grupą H86 na przestrzeni lat 2009–2016 (w dniach)

Rok/Grupa wiekowa	Poniżej 1	1 - 6	7 - 18	19 - 40	41 - 60	61 - 80	81 i więcej	Ogółem
2009	3	2	2	2	3	4	4	3
2010	3	2	3	2	3	4	6	3
2011	3	2	3	2	3	4	6	3
2012	2	2	3	2	3	3	5	3
2013	2	2	3	2	3	4	6	3
2014	2	2	2	2	2	3	6	2
2015	2	2	2	2	2	3	6	2
2016	2	2	2	3	3	3	4	2

Źródło: opracowanie własne na podstawie danych NFZ (NFZ, 2017)

Równocześnie należy podkreślić, że nie obserwuje się różnic w medianie czasu hospitalizacji pomiędzy poszczególnymi typami świadczeniodawców.

Na poniższym wykresie przedstawiono histogram czasu pobytu w 2016 roku. Największa liczba dotyczy hospitalizacji 2-dniowych.



Rysunek 4. Histogram czasu pobytu dla grupy H86 w 2016 r. (opracowanie własne na podstawie bazy danych NFZ za 2016 r.)

W poniższej tabeli przedstawiono odsetki hospitalizacji rozliczanych w ramach JGP H86 w podziale na poszczególne typy oddziałów. Struktura udzielnych świadczeń w zależności od typu oddziału pozostaje podobna w każdym z analizowanych lat. Co prawda na przestrzeni analizowanych lat zmniejsza się odsetek liczby udzielnych świadczeń w oddziałach ortopedii i traumatologii narządu ruchu, wzrasta natomiast odsetek świadczeń udzielanych w oddziałach pediatrycznych.

Tabela 5 Odsetek hospitalizacji dla JGP H86 w latach 2009–2016 w podziale na poszczególne zakresy udzielania świadczeń (%)

Zakres świadczeń	2009	2010	2011	2012	2013	2014	2015	2016
03.4580.030.02 – Ortopedia i Traumatologii Narządu Ruchu – Hospitalizacja	64,03	61,41	57,77	54,39	46,73	50,91	48,32	43,28
03.4280.030.02 – Reumatologia – Hospitalizacja	8,39	9,37	10,55	10,13	10,7	7,56	5,97	6,38
03.4501.030.02 – Chirurgia Dziecięca – Hospitalizacja	6,35	6,91	7,38	8,14	8,74	9,42	9,96	10,06
03.4401.030.02 – Pediatria – Hospitalizacja	5,32	6,17	7,81	9,52	12,63	14,03	16,49	19,52
03.4000.030.02 – Choroby Wewnętrzne – Hospitalizacja	4,19	5,08	5,98	6,72	6,64	6,36	6,5	6,52
03.4281.030.02 – Reumatologia Dziecięca – Hospitalizacja	3,15	3,57	3,55	2,87	4,32	1,86	2,45	2,22
03.4240.030.02 – Onkologia Kliniczna – Hospitalizacja	2,5	2,18	1,23	1,16	1,66	2,08	3,23	3,41
03.4340.030.02 – Choroby Zakaźne – Hospitalizacja	1,89	-	-	-	1,45	1,26	1,18	1,32
03.4581.030.02 – Ortopedia i Traumatologii Narządu Ruchu Dziecięca – Hospitalizacja	1,24	1,45	1,53	1,7	1,89	2,31	2,61	3,05
03.4071.030.02 – Onkologia i Hematologia Dziecięca – Hospitalizacja	1,23	1,27	1,03	-	1,18	1,61	1,63	2,51
03.4220.030.02 – Neurologia – Hospitalizacja	-	-	1,66	-	2,69	1,12	-	-

Źródło: opracowanie własne na podstawie danych NFZ (NFZ, 2017)

W odniesieniu do trybu przyjęć, odsetek przyjęć w trybie planowym przewyższa odsetek przyjęć w trybie nagłym w każdym z analizowanych lat. W 2016 roku przyjęcia w trybie planowym stanowiły 54% hospitalizacji, zaś przyjęcia w trybie nagłym 46%.

Struktura rozpoznań w grupie H86 w latach 2009 – 2016 jest zróżnicowana. W analizowanym okresie najczęściej hospitalizacji w poszczególnych latach wiązało się z rozpoznaniem takimi jak inne choroby tkanek miękkich związane z ich używaniem, przeciążeniem i uciskiem (M70.8), ganglion (M67.4) czy bóle

kończyn (M79.6). Ogółem najdłuższy czas pobytu (mediana) wiązał się z rozpoznaniem reumatyzmu, nieokreślonego (M79.0), przy czym należy zaznaczyć, że w latach 2009 – 2001 i 2013 rozpoznanie to nie generowało długich czasów pobytu. W analizowanym okresie najkrótsze czasy pobytu odnotowano w związku z rozpoznaniem ciała obce pozostałe w tkankach miękkich (M79.5).

Szczegółowe informacje znajdują się w poniższej tabeli.

Tabela 6 Struktura grupy H86 w odniesieniu do rozpoznai na przestrzeni lat 2009–2016

ICD-10	Nazwa	Lb. hospitalizacji								Udział (%)								Mediana czasu pobytu (dni)							
		2009	2010	2011	2012	2013	2014	2015	2016	2009	2010	2011	2012	2013	2014	2015	2016	2009	2010	2011	2012	2013	2014	2015	2016
M70.8	Inne choroby tkanek miękkich związane z ich użytkowaniem, przeciążeniem i uciskiem	1694	753	788	873	761	594	541	477	13,26	6,24	6,53	7,44	6,88	7,21	7,17	6,41		3	2	2	2	2	2	2
M67.4	Ganglion	1433	1302	1110	935	511	310	315	247	11,21	10,79	9,2	7,97	4,62	3,76	4,18	3,32	2	2	2	2	2	2	1	2
M79.6	Bóle kończyn	1191	1226	1351	1322	1351	1012	803	917	9,32	10,16	11,2	11,27	12,22	12,28	10,65	12,32	3	3	3	3	3	3	3	3
M79.5	Ciało obce pozostałe w tkankach miękkich	741	653	578	557	559	517	446	422	5,8	5,41	4,79	4,75	5,06	6,27	5,91	5,67	2	2	2	2	1	1	1	1
M79.8	Inne określone choroby tkanek miękkich	632	729	660	658	706	555	482	460	4,95	6,04	5,47	5,61	6,39	6,74	6,39	6,18	6	6	5	5	4	4	4	5
M70.9	Nieokreślone choroby tkanek miękkich związane z ich użytkowaniem, przeciążeniem i przesileniem	622	382	438	480	446	339	372	358	4,87	3,17	3,63	4,09	4,03	4,11	4,93	4,81		3	3	3	5	3	2	2
M72.0	Przykurcz rozciągnięta dłoniowego [przykurcz Dupuytren'a]	557	548	484	412	428	253	206	224	4,36	4,54	4,01	3,51	3,87	3,07	2,73	3,01	3	3	3	3	2	2	2	2
M79.1	Mięśnioból [myalgia]	403	392	433	556	735	617	603	589	3,15	3,25	3,59	4,74	6,65	7,49	7,99	7,91	3	3	3	3	3	3	2	3
M70.4	Zapalenie kaletki maziowej przedrzepkowej	373	340	310	270	197	138	157	105	2,92	2,82	2,57	2,3	1,78	1,67	2,08	1,41	4	4	4	3	5	5	6	5

ICD-10	Nazwa	Lb. hospitalizacji								Udział (%)								Mediana czasu pobytu (dni)							
		2009	2010	2011	2012	2013	2014	2015	2016	2009	2010	2011	2012	2013	2014	2015	2016	2009	2010	2011	2012	2013	2014	2015	2016
M79.9	Nieokreślone choroby tkanek miękkich	284	248	332	385	377	300	254	264	2,22	2,06	2,75	3,28	3,41	3,64	3,37	3,55	4	4	4	4	3	3	3	3
M79.0	Reumatyzm, nie określony	269	212	234	263	287	104	86	106	2,1	1,76	1,94	2,24	2,6	1,26	1,14	1,42	1	1	1	11	1	7	6	7
M65.8	Inne zapalenia błony maziowej i pochewki ścięgna	241	269	275	282	184	98			1,89	2,23	2,28	2,4	1,66	1,19			2	2	2	2	2	2		
D21.2	Tkanka łączna i inne tkanki miękkie kończyny dolnej, łącznie z biodrem	230	182	193	172	173	167	166	154	1,8	1,51	1,6	1,47	1,56	2,03	2,2	2,07	2	2	3	2	2	3	2	2
M70.2	Zapalenie kaletki maziowej wyrostka łokciowego	207	189	181	149	0	0	0	0	1,62	1,57	1,5	1,27					3	3	3	2				
M75.8	Inne uszkodzenia barku	195	337	344	313	420	292	293	290	1,53	2,79	2,85	2,67	3,8	3,54	3,88	3,9	5	8	7	6	5	2	2	2
D21.1	Tkanka łączna i inne tkanki miękkie kończyny górnej, łącznie z barkiem	182	139	145	157	138	109	110	87	1,42	1,15	1,2	1,34	1,25	1,32	1,46	1,17	2	2	3	2	2	2	2	2
M70.0	Przewlekłe suche zapalenie pochewek ścięgien mięśni w obrębie ręki i nadgarstka	156	290	194						1,22	2,4	1,61						2	2	2					
M62.0	Rozerwanie mięśni	146	130							1,14	1,08							4	5						
M67.8	Inne określone choroby błony maziowej i ścięgien	129								1,01								3							

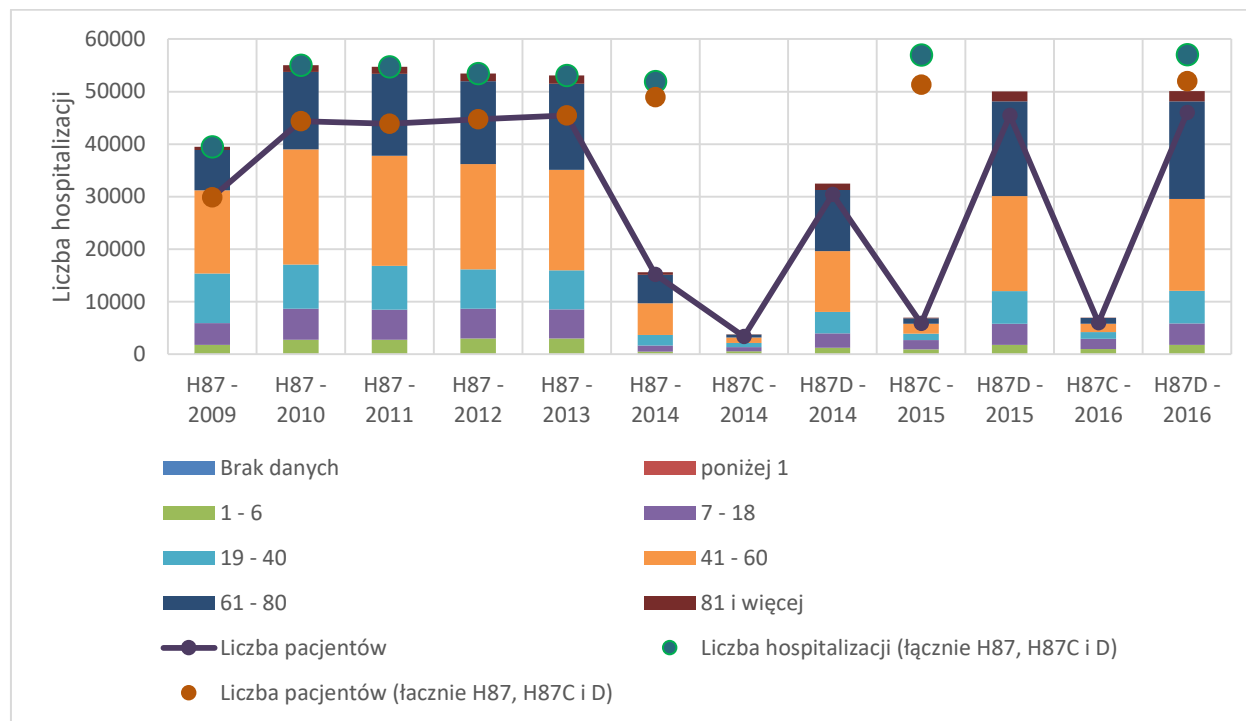


ICD-10	Nazwa	Lb. hospitalizacji								Udział (%)								Mediana czasu pobytu (dni)							
		2009	2010	2011	2012	2013	2014	2015	2016	2009	2010	2011	2012	2013	2014	2015	2016	2009	2010	2011	2012	2013	2014	2015	2016
M71.2	Cysta podkolanowa [torbiel Bakera]		303	254	209	201	136	129	107		2,51	2,1	1,78	1,82	1,65	1,71	1,44		3	3	2	3	2	2	2
M77.1	Zapalenie nadkłykcia boczego		255	240	149	177	100				2,11	1,99	1,27	1,6	1,21				3	2		1			
M67.9	Nieokreślone choroby błony maziowej i ścięgien		148				86	99			1,23				1,04	1,31			3				2	2	
M70.5	Zapalenie innych kałek maziowych stawu kolanowego		136	174	127		88				1,13	1,44	1,08		1,07				4	3	3		3		
M62.8	Inne określone choroby mięśni		129	143		124	93	117	150		1,07	1,19		1,12	1,13	1,55	2,02		4	5		5	4	5	4
M65.9	Nieokreślone zapalenie błony maziowej i pochewki ścięgna		127								1,05								2						
M60.9	Nieokreślone zapalenie mięśni			131	123	228		124	222			1,09	1,05	2,06		1,64	2,98			5	5	4		4	3
M70.6	Zapalenie kaletki maziowej krętarza			127								1,05								2					
M77.8	Inne entezopatie niesklasyfikowane gdzie indziej				331		93						2,82		1,13						2		2		
M62.9	Nieokreślone choroby mięśni				126	132	91	104	101				1,07	1,19	1,1	1,38	1,36				4	5	4	4	3
M60.8	Inne zapalenie mięśni					146		94	109				0	1,32	0	1,25	1,46					5		4	4
C49.2	Tkanka łączna i tkanka miękką							117	107							1,55	1,44							3	2

ICD-10	Nazwa	Lb. hospitalizacji								Udział (%)								Mediana czasu pobytu (dni)							
		2009	2010	2011	2012	2013	2014	2015	2016	2009	2010	2011	2012	2013	2014	2015	2016	2009	2010	2011	2012	2013	2014	2015	2016
	kończyny dolnej łącznie z biodrem																								
M75.9	Nieokreślone uszkodzenia barku							79	102							1,05	1,37							2	2

## JGP H87, H87C i D

Na poniższym wykresie przedstawiono liczbę hospitalizacji rozliczonych w ramach JGP H87C i D na przestrzeni lat 2009–2016. Pierwotnie istniała jedna grupa H87, z której zostały wydzielone grupy H87C oraz H87D (według kryterium długości pobytu). Mimo podziału grupy, łączna liczba hospitalizacji w latach 2014–2016 utrzymywała się na poziomie zbliżonym do tego sprzed podziału, obserwuje się nawet wzrost liczby hospitalizacji w latach 2015–2016, co znajduje swoje odzwierciedlenie w udziale przedmiotowych JGP w sekcji H (porównaj poniższa tabela).



**Rysunek 5.** Liczba pacjentów oraz liczba hospitalizacji rozliczonych w ramach JGP H87 C i D na przestrzeni lat 2009–2016 (NFZ, 2017)

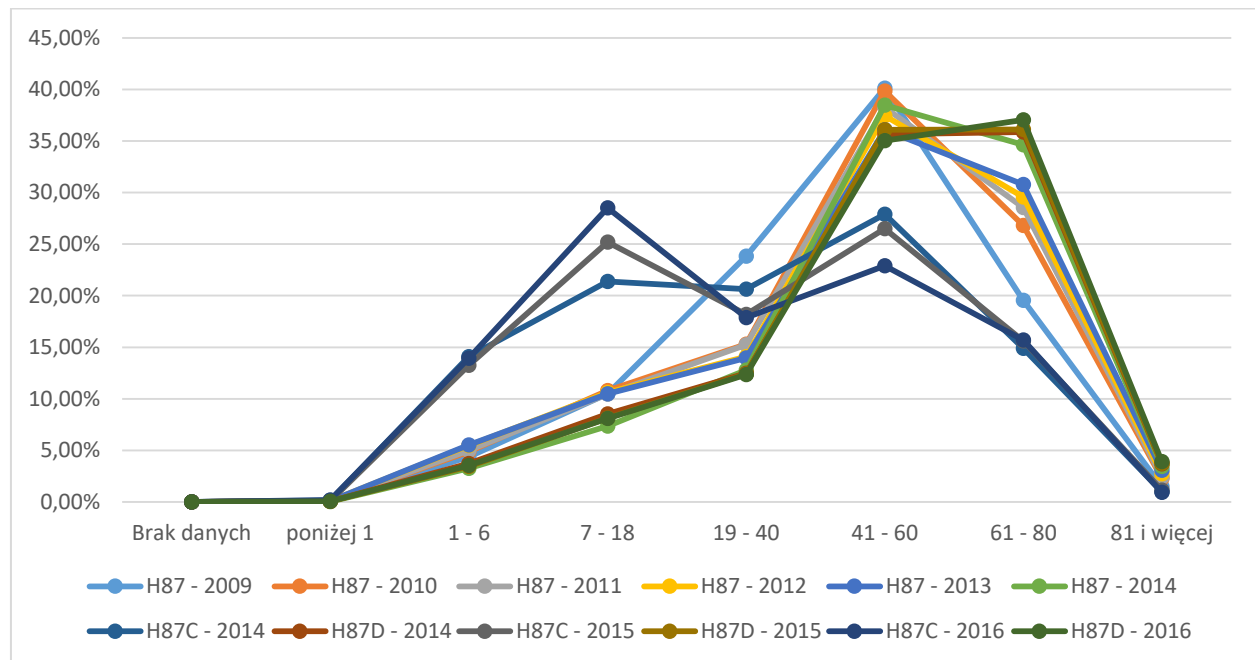
**Tabela 7** Udział grupy H87, H87C i D w sekcji H na przestrzeni lat 2009–2016

JGP/Rok	2009	2010	2011	2012	2013	2014	2015	2016
H87	6,19%	8,42%	8,22%	8,05%	8,06%	2,52%		
H87C						0,61%	1,10%	1,09%
H87D						5,24%	7,96%	7,92%
Łącznie H87, H87C i H87D						8,37%	9,06%	9,01%

Źródło: opracowanie własne na podstawie danych NFZ (NFZ, 2017)

Równocześnie w każdym z analizowanych lat liczba hospitalizacji przekracza liczbę pacjentów – obserwuje się jednak tendencję spadkową dotyczącą współczynnika rehospitalizacji, który w 2009 roku wynosił 32%, zaś w 2016 roku 9% (dla JGP H87C i H87D łącznie).

Największa liczba hospitalizacji dotyczy osób z grupy wiekowej 41–60, chociaż zauważenia wymaga fakt, że po wprowadzeniu podziału JGP ze względu na kryterium wieku w JGP H87C odsetek hospitalizacji osób z grupy wiekowej 41–60 jest zbliżony do odsetka hospitalizacji grupy wiekowej 7–18. Szczegółowe dane przedstawiono na poniższym wykresie.



**Rysunek 6. Udział poszczególnych grup wiekowych w ogólnej liczbie hospitalizacji rozliczonych w ramach JGP H87, H87C i D na przestrzeni lat 2009–2016 (NFZ, 2017)**

Struktura liczby udzielanych świadczeń, w odniesieniu do typu szpitala, zmieniła się w momencie wydzielania nowych JGP w oparciu o kryterium długości pobytu. Przed podziałem największa liczba hospitalizacji była udzielana w szpitalach wojewódzkich. Po podziale ze względu na długość pobytu największa liczba świadczeń związanych z hospitalizacją przekraczającą 3 dni (JGP H87D) nadal dotyczyła szpitali wojewódzkich, natomiast największa liczba świadczeń związanych z hospitalizacją < 4 dni (H87C) dotyczyła szpitali klinicznych. Szczegółowe dane znajdują się w poniższej tabeli.

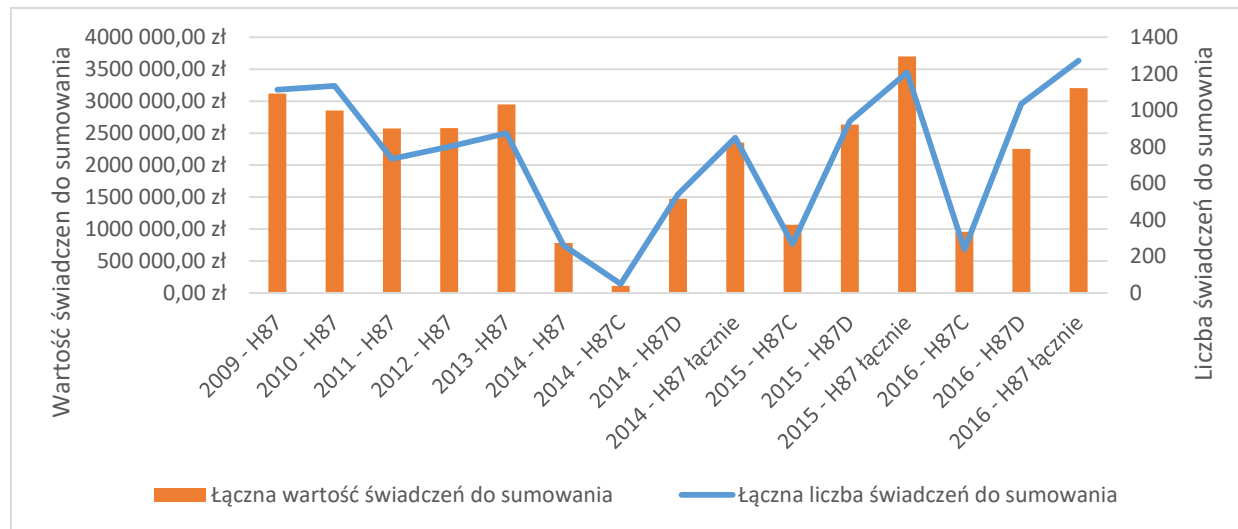
**Tabela 8 Liczba hospitalizacji rozliczonych w ramach JGP H87, H87C i D na przestrzeni lat 2009–2016 w podziale na typy świadczeniodawców**

Rok/Typ szpitala	Gminny, powiatowy, miejski	Niepubliczne	Kliniczne	Wojewódzkie	Inne	Wszystkie typy szpitali
2009 - H87	8195	1 145	1 4324	15 025	802	39 491
2010 - H87	14 124	2 233	13 514	24 530	609	55 010
2011 - H87	13 768	2 421	12 795	25 069	688	54 741
2012 - H87	13 671	3 223	11 933	23 923	688	53 438
2013 - H87	14 377	3 555	11 957	22 669	546	53 104
2014 - H87	4 576	1 135	2 656	7 106	161	15 634
2014 - H87C	108	108	1 908	941	79	741
2015 - H87C	244	244	3 614	1 791	116	1 165
2016 - H87C	313	313	3 451	1 836	88	1 233
2014 - H87D	2 159	2 159	5 774	14 583	314	2 159
2015 - H87D	3 791	3 791	8 130	22 404	596	3 791
2016 - H87D	3 910	3 910	8 096	22 308	548	3 910

Źródło: opracowanie własne na podstawie danych NFZ (NFZ, 2017)

Nie obserwuje się znacznych różnic w odniesieniu do średniej wartości grupy pomiędzy różnymi typami szpitali na przestrzeni analizowanych lat. Sytuacja przedstawia się podobnie w odniesieniu do średniej wartości hospitalizacji, która średnio przewyższała średnią wartość grupy o 66 zł (od 28zł–153 zł).

Na poniższym wykresie przedstawiono liczbę hospitalizacji związaną z rozliczaniem świadczeń do sumowania oraz ich wartość na przestrzeni lat 2009–2016. Wśród świadczeń do sumowania pojawia się: pobyt w OAiT, przetoczenie preparatów krwi i innych substancji, rehabilitacja, chemioterapia, dializy, leczenie żywieniowe, programy lekowe oraz pozostałe świadczenia. Struktura liczby udzielanych do sumowania jest różna w każdym z analizowanych lat.



**Rysunek 7.** Liczba hospitalizacji związana z rozliczaniem świadczeń do sumowania w grupie H87, H87C i D oraz ich wartość na przestrzeni lat 2009–2016 (NFZ, 2017)

Mediana czasu pobytu utrzymuje się na zbliżonym poziomie na przestrzeni analizowanych lat – dotyczy to zarówno wszystkich szpitali łącznie, jak i poszczególnych typów szpitali. Szczegółowe dane znajdują się w poniższej tabeli.

**Tabela 9** Długość hospitalizacji (mediana) rozliczanych grupą H87 C i D na przestrzeni lat 2009–2016 (w dniach) w podziale na typy szpitali

Rok/Typ szpitala	Gminny, powiatowy, miejski	Niepubliczne	Kliniczne	Wojewódzkie	Inne	Wszystkie typy szpitali
2009 - H87	8	10	4	9	3	7
2010 - H87	10	10	3	11	8	9
2011 - H87	9	9	3	10	8	8
2012 - H87	9	9	3	10	7	8
2013 - H87	9	8	3	9	7	8
2014 - H87	9	9	7	10	7	9
2014 - H87C	2	2	0	1	1	1
2015 - H87C	2	2	0	1	1	1
2016 - H87C	2	3	0	2	2	1
2014 - H87D	9	9	6	9	7	9
2015 - H87D	9	8	6	9	8	8
2016 - H87D	9	7	6	9	7	8

Źródło: opracowanie własne na podstawie danych NFZ (NFZ, 2017)

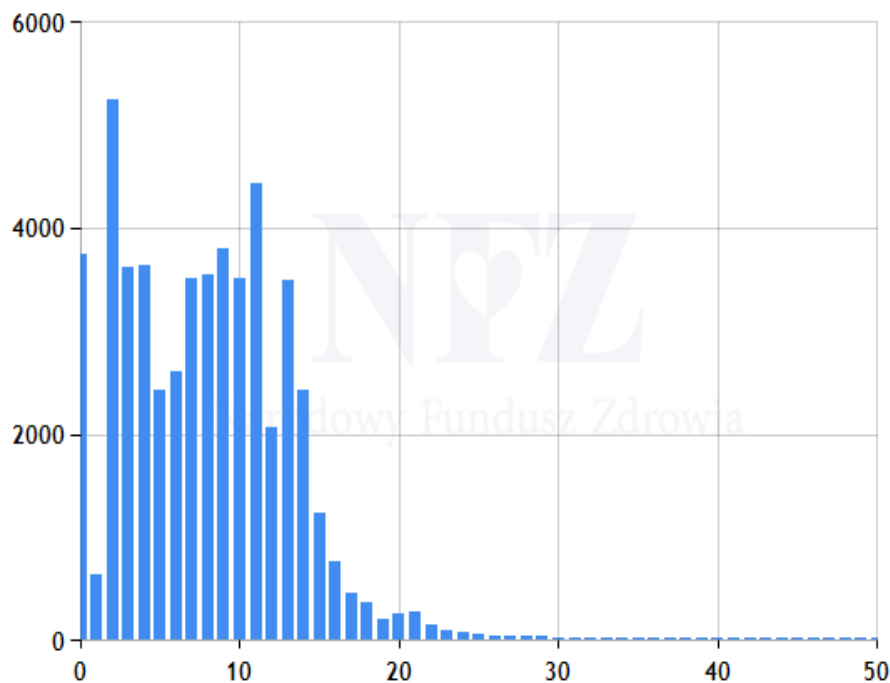
Ponadto w poniższej tabeli przedstawiono medianę czasu pobytu w podziale na kategorie wiekowe. Najdłuższe czasy hospitalizacji rozliczanych w ramach JGP H87D dotyczą osób z przedziału wiekowego powyżej 61 roku życia, natomiast w przypadku hospitalizacji rozliczanych w ramach JGP H87C dotyczą osób z przedziału wiekowego powyżej 81 roku życia i poniżej 1 roku życia. Szczegółowe informacje znajdują się w poniższej tabeli.

**Tabela 10 Długość hospitalizacji (mediana) rozliczanych grupą H87, H87 C i D na przestrzeni lat 2009–2016 (w dniach) w podziale na kategorie wiekowe**

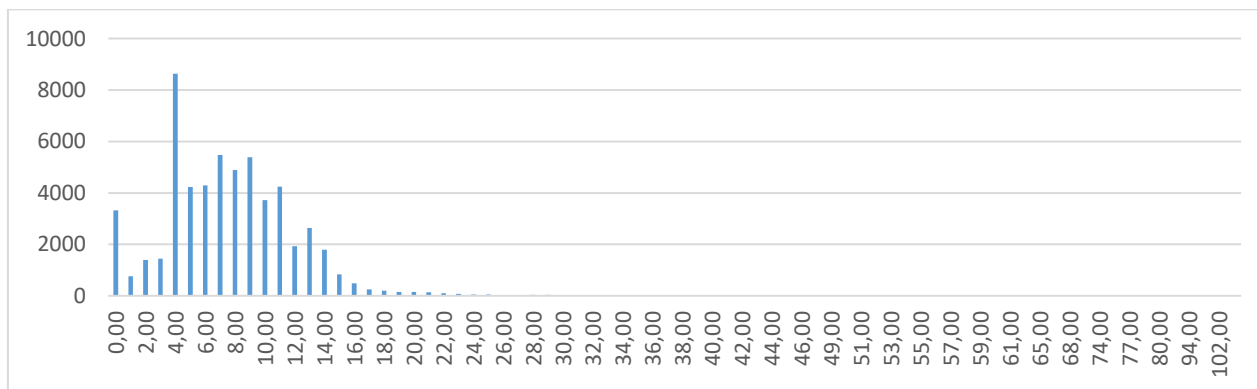
Rok/Grupa wiekowa	Poniżej 1	1 - 6	7 - 18	19 - 40	41 - 60	61 - 80	81 i więcej	Ogółem
H87 - 2009	7	5	4	4	7	9	10	7
H87 - 2010	8	4	4	6	9	11	11	9
H87 - 2011	9	4	4	5	9	11	11	8
H87 - 2012	7	4	4	5	9	10	10	8
H87 - 2013	7	4	3	5	8	10	10	8
H87 - 2014	8	7	7	7	9	10	10	9
H87C - 2014	1	2	0	1	0	1	2	1
H87C - 2015	2	1	0	1	1	1	2	1
H87C - 2016	1	1	0	1	1	1	2	1
H87D - 2014	8	6	6	7	9	10	9	9
H87D - 2015	8	6	6	7	8	9	9	8
H87D - 2016	11	6	6	7	8	9	9	8

Źródło: opracowanie własne na podstawie danych NFZ (NFZ, 2017)

Na poniższych wykresach dla porównania przedstawiono histogramy czasu pobytu przed podziałem JGP (za 2013 rok) oraz po podziale (wszystkie hospitalizacje z JGP H87C i H87D w 2016 r. łącznie). Przed podziałem JGP H87 najczęściej było hospitalizacji 2-dniowych, a w drugiej kolejności 12-dniowych. Po podziale JGP H87, w 2016 roku, największa liczba dotyczy hospitalizacji 4-dniowych, a następnie 7- i 9-dniowych.



Rysunek 8. Histogram czasu pobytu dla grupy H87 w 2013 r. (NFZ, 2017)



Rysunek 9. Histogram czasu pobytu dla grupy H87 w 2016 r. (opracowanie własne na podstawie bazy danych NFZ z 2016 rok)

W poniższej tabeli przedstawiono odsetki hospitalizacji rozliczanych w ramach JGP H87, H87C i D w podziale na poszczególne typy oddziałów. Należy podkreślić, że choć z poniższej tabeli wynika, iż wydzielaniu JGP H87C oraz H87D zmieniła się struktura udzielanych świadczeń, to pod warunkiem analizowania świadczeń z H87C oraz H87D łącznie pozostaje podobna w każdym z analizowanych lat.

**Tabela 11 Odsetek hospitalizacji dla JGP H87, H87C i D w latach 2009–2016 w podziale na poszczególne zakresy udzielania świadczeń (%)**

Zakres świadczeń	2009	2010	2011	2012	2013	2014 - H87	2014 - H87C	2015 - H87C	2016 - H87C	2014 - H87D	2015 - H87D	2016 - H87D
03.4280.030.02 - Reumatologia - Hospitalizacja	51,12	64,19	63,45	65,43	64,8	72,78	43,61	41,39	37,97	72,22	71,54	72,01
03.4000.030.02 - Choroby Wewnętrzne - Hospitalizacja	12,92	9,43	9,5	8,7	8,58	7,45	12,26	10,29	9,66	7,65	8,11	7,71
03.4200.030.02 - Dermatologia i Wenerologia - Hospitalizacja	9,75	6,43	6,74	4,52	3,75	3,26	2,38	3	3,16	2,41	2,6	2,56
03.4580.030.02 - Ortopedia i Traumatologia Narządu Ruchu - Hospitalizacja	5,79	3,52	3,71	3,16	2,99	1,87	5,53	6,08	5,28	2,07	1,91	1,99
03.4220.030.02 - Neurologia - Hospitalizacja	4,42	1,53	1,47	1,61	1,69	2,06				1,61	2,33	2,23
03.4281.030.02 - Reumatologia Dziecięca - Hospitalizacja	4,34	5,3	5,03	5,38	6,94	5,68	14,54	17,78	21,94	6,76	6,37	6,26
03.4401.030.02 - Pediatria - Hospitalizacja	4,27	4,4	4,9	5,36	5,11	2,56	12,87	12,53	12,79	3	2,83	3,14
03.4340.030.02 - Choroby Zakaźne - Hospitalizacja	2,69	2,17	2,02	2,21	2,08	1,94	1,19	1,08	1,21	1,68	1,69	1,6
03.4501.030.02 - Chirurgia Dziecięca - Hospitalizacja	2,03	1,64	1,63	1,76	1,88		4,13	3,59	3,49	1,21	1,01	
03.4581.030.02 - Ortopedia i Traumatologia Narządu Ruchu Dziecięca - Hospitalizacja	1,01						1,62	2,11	2,09			

Źródło: opracowanie własne na podstawie danych NFZ (NFZ, 2017)

W odniesieniu do trybu przyjęć, odsetek przyjęć w trybie planowym (który oscylował wokół 75%, osiągając wartość minimalną 69,82% w 2009 roku i maksymalną 78,49 w 2016 roku dla JGP H87D) przewyższa odsetek przyjęć w trybie nagłym w każdym z analizowanych lat (który oscylował wokół 24%, osiągając wartość minimalną 22,68% w 2011 roku i maksymalną 20,18 w 2009 roku). Należy podkreślić, że wydzielenie JGP H87C oraz H87D nie wpłynęło na zmianę odsetka przyjęć w trybie nagłym i planowym.

Struktura rozpoznań w grupie H87 w latach 2009 – 2013 jest zróżnicowana. W analizowanym okresie najczęściej hospitalizacji w poszczególnych latach wiązało się z innym sero-dodatnim reumatoidalnym zapaleniem stawów (M05.8). W latach 2010 – 2013 udział tego rozpoznania na tle grupy wynosił średnio 25%. Podobną sytuację zaobserwowano w grupie H87D, przy czym średni udział hospitalizacji związanych z tym rozpoznaniem wyniósł w latach 2014 – 2016 od około 26 do 27%. W grupie H87C najczęstszą przyczyną hospitalizacji było natomiast sero-dodatnie reumatoidalne zapalenie stawów, nie określone (M05.9), a jego udział na tle grupy w latach 2014-2016 wynosił od około 10 do 13%. W przypadku hospitalizacji rozliczanych grupą H87 najdłuższy czas pobytu (mediana) został odnotowany w związku z zapaleniem stawów krzyżowo-biodrowych [sacroilitis] niesklasyfikowanym gdzie indziej (M46.1), jednak należy zaznaczyć, że hospitalizacje związane z tym rozpoznaniem sprawozdano jedynie w 2009 roku. Jeśli chodzi o grupę H87C, najdłuższy średni czas pobytu związany był z następującymi rozpoznaniem: nieokreślone zapalenie stawu (M13.9), nieokreślone zapalenie wielostawowe (M13.0), reaktywne



artropatie, nie określone (M02.9), reumatoidalne zapalenie stawów, nie określone (M06.9), inne określone zapalenie stawu (M13.8), młodzieńcze zapalenie stawów, nie określone (M08.9), inne reaktywne artropatie (M02.8), zespół Reynauda (I73.0), zapalenie jednego stawu niesklasyfikowane gdzie indziej (M13.1), wysięk w stawie (M25.4). W przypadku grupy H87D najdłuższy czas pobytu w latach 2014 - 2016 związany był z innym sero-dodatnim reumatoidalnym zapaleniem stawów (M05.8).

Szczegółowe informacje znajdują się w poniższych tabelach.

Tabela 12 Struktura grupy H87 w odniesieniu do rozpoznań na przestrzeni lat 2009–2013

ICD-10	Nazwa	Lb. hospitalizacji					Udział (%)					Mediana czasu pobytu (dni)				
		2009	2010	2011	2012	2013	2009	2010	2011	2012	2013	2009	2010	2011	2012	2013
L40.5	Łuszczyca stawowa (M07.0-M07.3, M09.0)	3532	5167	6588	4599	4454	8,94	9,39	12,03	8,61	8,39	9	6	3	8	8
M45	Zesztywniające zapalenie stawów kręgosłupa	3467	3313	2989	3053	3169	8,78	6,02	5,46	5,71	5,97	10	10	10	9	9
M13.0	Nieokreślone zapalenie wielostawowe	2810	2994	3180	3254	3236	7,12	5,44	5,81	6,09	6,09	8	8	8	8	8
M35.9	Nieokreślone układowe zajęcie tkanki łącznej	2793					7,07					6				
M32.8	Inne postacie tocznia rumieniowatego układowego	2299					5,82					4				
M13.9	Nieokreślone zapalenie stawu	2080	2515	2370	2594	2806	5,27	4,57	4,33	4,85	5,28	6	6	5	5	4
M32.9	Nieokreślony toczń rumieniowaty układowy	1798					4,55					5				
M34.0	Postępująca twardzina uogólniona	1399					3,54					4				
M13.8	Inne określone zapalenie stawu	1392	1455	1378	1358	1377	3,52	2,64	2,52	2,54	2,59	8	7	7	5	5
M35.0	Zespół suchości [Zespół Sjogrena]	1128					2,86					6				
M48.8	Inne określone spondylopatie	1105					2,8					4				
M48.9	Nieokreślone spondylopatie	1044					2,64					6				
M35.8	Inne określone układowe zajęcie tkanki łącznej	984					2,49					7				
M35.3	Polimialgia reumatyczna	909					2,3					10				
M12.8	Inne określone artroptie niesklasyfikowane gdzie indziej	903	951	970	984	925	2,29	1,73	1,77	1,84	1,74	9	9	9	9	9
L52	Rumień guzowaty [erythema nodosum]	876	975	879	903	872	2,22	1,77	1,61	1,69	1,64	7	8	7	7	7
M35.1	Inne zespoły nakładające się	821					2,08					7				

ICD-10	Nazwa	Lb. hospitalizacji					Udział (%)					Mediana czasu pobytu (dni)				
		2009	2010	2011	2012	2013	2009	2010	2011	2012	2013	2009	2010	2011	2012	2013
M13.1	Zapalenie jednego stawu niesklasyfikowane gdzie indziej	795	685	701	630	674	2,01	1,25	1,28	1,18	1,27	7	6	6	6	5
M32.1	Toczeń rumieniowaty układowy z zajęciem narządów Choroba Libman-Sacksa (139.-*)	759	711				1,92	1,29				4	3			
M34.9	Nieokreślona twardzina układowa	619					1,57					5				
M33.2	Zapalenie wielomięśniowe	567					1,44					6				
M25.4	Wysięk w stawie	519					1,31					6				
M46.1	Zapalenie stawów krzyżowo-biodrowych [sacroilitis] niesklasyfikowanych gdzie indziej	479					1,21					13				
M05.8	Inne sero-dodatnie reumatoidalne zapalenie stawów		13809	13776	14209	13321		25,1	25,17	26,59	25,08		11	11	11	10
M05.9	Sero-dodatnie reumatoidalne zapalenie stawów, nie określone		5802	4769	4838	5130		10,55	8,71	9,05	9,66		9	8	8	8
M06.0	Surowiczoujemne reumatoidalne zapalenie stawów		3604	3112	3155	3042		6,55	5,68	5,9	5,73		11	11	11	10
M06.9	Reumatoidalne zapalenie stawów, nie określone		1992	1568	1674	1704		3,62	2,86	3,13	3,21		8	7	7	7
M08.4	Młodzieńcze zapalenie stawów o początku skąpostawowym		1140	1128	1048	1000		2,07	2,06	1,96	1,88		2	3	3	3
M08.9	Młodzieńcze zapalenie stawów, nie określone		1040	796	948	838		1,89	1,45	1,77	1,58		2	2	2	2
M02.8	Inne reaktywne artropatie		1021	1084	1017	1093		1,86	1,98	1,9	2,06		7	7	7	7
M02.9	Reaktywne artropatie, nie określone		988	1107	1047	1108		1,8	2,02	1,96	2,09		6	6	6	5

ICD-10	Nazwa	Lb. hospitalizacji					Udział (%)					Mediana czasu pobytu (dni)				
		2009	2010	2011	2012	2013	2009	2010	2011	2012	2013	2009	2010	2011	2012	2013
M06.8	Inne określone reumatoidalne zapalenie stawów		961	655	642	834		1,75	1,2	1,2	1,57		10	7	8	8
M08.0	Młodzieńcze reumatoidalne zapalenie stawów		938	893	866	860		1,71	1,63	1,62	1,62		3	2	3	2
M46.4	Nieokreślone zapalenie krążka międzykręgowego		684	732	766	822		1,24	1,34	1,43	1,55		5	5	5	5
I73.0	Zespół Reynauda		669	0	558	0		1,22	0	1,04	0		3		3	
M08.3	Młodzieńcze zapalenie wielu stawów (sero-ujemne)		582	653	597	0		1,06	1,19	1,12	0		4	4	4	0
M46.9	Nieokreślone zapalne choroby kręgosłupa					635					1,2					6

Źródło: opracowanie własne na podstawie danych NFZ (NFZ, 2017)

Tabela 13 Struktura grupy H87C w odniesieniu do rozpoznań na przestrzeni lat 2014–2016

ICD-10	Nazwa	Lb. hospitalizacji			Udział (%)			Mediana czasu pobytu (dni)		
		2014	2015	2016	2014	2015	2016	2014	2015	2016
M05.9	Sero-dodatnie reumatoidalne zapalenie stawów, nie określone	503	843	701	13,32	12,16	10,12	0	0	0
M05.8	Inne sero-dodatnie reumatoidalne zapalenie stawów	355	677	712	9,4	9,77	10,28	1	1	1
M13.9	Nieokreślone zapalenie stawu	355	750	809	9,4	10,82	11,68	2	2	2
M45	Zesztywniające zapalenie stawów kręgosłupa	240	407	325	6,35	5,87	4,69	0	0	0
L40.5	Łuszczyca stawowa (M07.0-M07.3, M09.0)	232	479	459	6,14	6,91	6,63	0	0	0
M13.0	Nieokreślone zapalenie wielostawowe	232	346	343	6,14	4,99	4,95	2	2	2
M08.0	Młodzieńcze reumatoidalne zapalenie stawów	212	379	374	5,61	5,47	5,4	0	0	0
M02.9	Reaktywne artropatie, nie określone	144	218	226	3,81	3,15	3,26	2	2	2
M08.4	Młodzieńcze zapalenie stawów o początku skąpostawowym	124	240	276	3,28	3,46	3,98	0	0	0
M06.9	Reumatoidalne zapalenie stawów, nie określone	118	197	144	3,12	2,84	2,08	2	2	2
M13.8	Inne określone zapalenie stawu	113	255	262	2,99	3,68	3,78	2	2	2
M08.8	Inne młodzieńcze zapalenia stawów	98	215	203	2,59	3,1	2,93	0	0	0
M08.9	Młodzieńcze zapalenie stawów, nie określone	97	183	203	2,57	2,64	2,93	2	2	2
M02.8	Inne reaktywne artropatie	94	121	178	2,49	1,75	2,57	2	2	2
I73.0	Zespół Reynauda	87	135	140	2,3	1,95	2,02	2	2	2
M13.1	Zapalenie jednego stawu niesklasyfikowane gdzie indziej	81	117	112	2,14	1,69	1,62	2	2	2
M46.9	Nieokreślone zapalne choroby kręgosłupa	79	148	132	2,09	2,14	1,91	1	1	1
M06.0	Surowiczoujemne reumatoidalne zapalenie stawów	78	155	115	2,07	2,24	1,66	1	1	0

ICD-10	Nazwa	Lb. hospitalizacji			Udział (%)			Mediana czasu pobytu (dni)		
		2014	2015	2016	2014	2015	2016	2014	2015	2016
M25.0	Krwiak śródstawowy	57	89	123	1,51	1,28	1,78	2	2	1
M08.3	Młodzieńcze zapalenie wielu stawów (sero-ujemne)	53	139	148	1,4	2,01	2,14	0	0	0
M08.2	Młodzieńcze zapalenie stawów o początku uogólnionym	50	74		1,32	1,07		0	0	
M12.8	Inne określone artroptie niesklasyfikowane gdzie indziej	43	149	255	1,14	2,15	3,68	2	2	0
M25.4	Wysięk w stawie	39	77	69	1,03	1,11	1	2	2	2
M46.8	Inne określone zapalne choroby kręgosłupa	39	74		1,03	1,07		1	2	

Źródło: opracowanie własne na podstawie danych NFZ (NFZ, 2017)

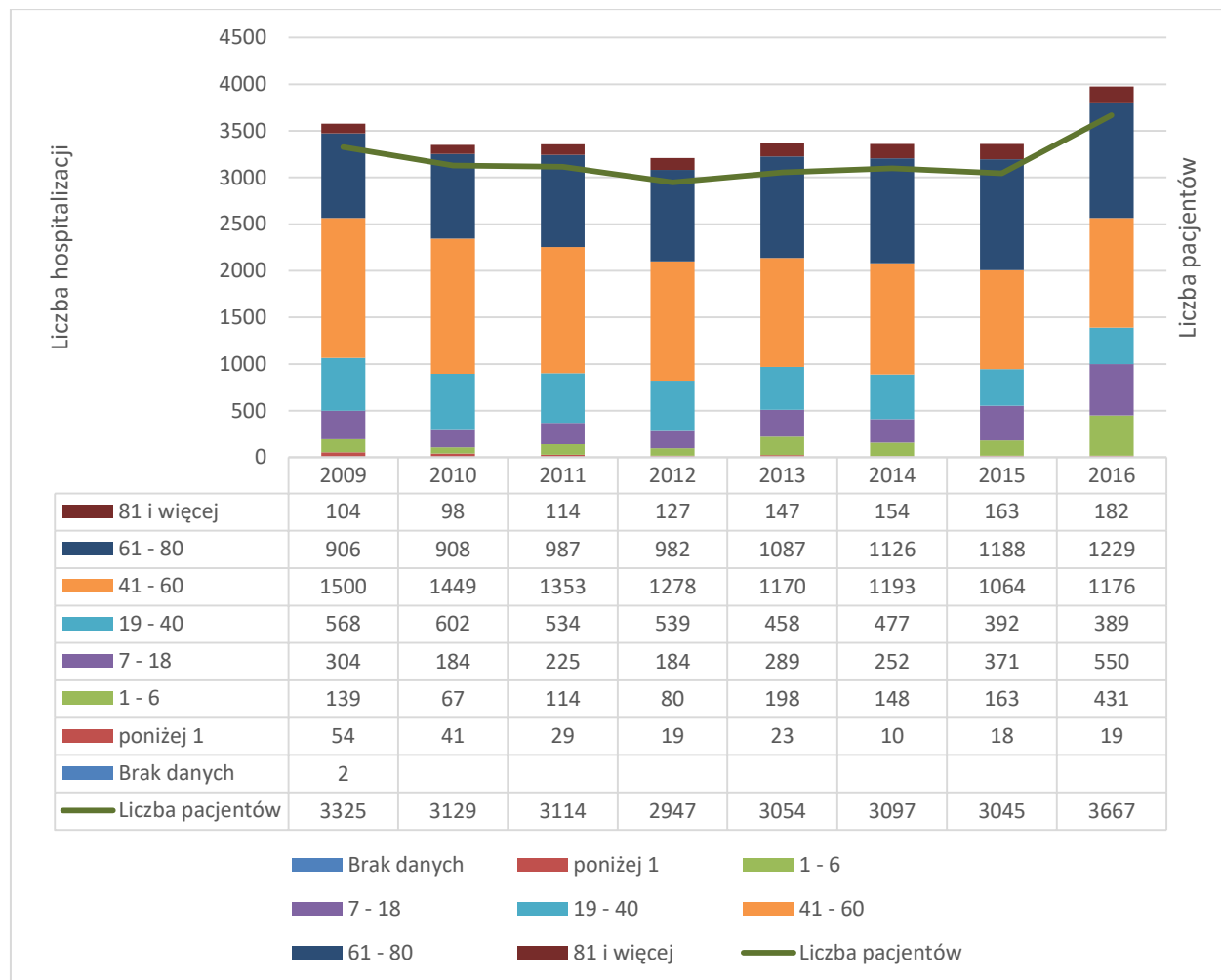
Tabela 14 Struktura grupy H87D w odniesieniu do rozpoznań na przestrzeni lat 2014–2016

ICD-10	Nazwa	Lb. hospitalizacji			Udział (%)			Mediana czasu pobytu (dni)		
		2014	2015	2016	2014	2015	2016	2014	2015	2016
M05.8	Inne sero-dodatnie reumatoidalne zapalenie stawów	8866	13387	13037	27,3	26,76	26,02	10	10	9
M05.9	Sero-dodatnie reumatoidalne zapalenie stawów, nie określone	2774	4025	4025	8,54	8,05	8,03	9	8	8
M13.0	Nieokreślone zapalenie wielostawowe	2438	4007	4210	7,51	8,01	8,4	9	8	8
L40.5	Łuszczyca stawowa (M07.0-M07.3, M09.0)	2218	3698	3798	6,83	7,39	7,58	9	8	8
M06.0	Surowiczoujemne reumatoidalne zapalenie stawów	2201	3422	3376	6,78	6,84	6,74	9	9	8
M45	Zesztywniające zapalenie stawów kręgosłupa	1759	2659	2539	5,42	5,32	5,07	9	9	8
M13.9	Nieokreślone zapalenie stawu	1495	2181	2237	4,6	4,36	4,46	7	7	7
M12.8	Inne określone artroptie niesklasyfikowane gdzie indziej	1010	1477	1627	3,11	2,95	3,25	9	9	8
M06.9	Reumatoidalne zapalenie stawów, nie określone	966	1408	1295	2,97	2,81	2,58	7	7	7
M02.8	Inne reaktywne artropatie	777	1139	1148	2,39	2,28	2,29	8	8	8
M13.8	Inne określone zapalenie stawu	769	1207	1398	2,37	2,41	2,79	8	8	7
M06.8	Inne określone reumatoidalne zapalenie stawów	590	798	804	1,82	1,6	1,6	8	7	8
L52	Rumień guzowaty [erythema nodosum]	511	759	839	1,57	1,52	1,67	7	7	7
M46.4	Nieokreślone zapalenie krążka międzykręgowego	504	753	499	1,55	1,51	1	6	6	6
M02.9	Reaktywne artropatie, nie określone	488	678	745	1,5	1,36	1,49	7	7	7
M08.4	Młodzieńcze zapalenie stawów o początku skąpostawowym	421	614	587	1,3	1,23	1,17	6	6	6
I73.0	Zespół Reynauda	395	663	646	1,22	1,33	1,29	6	6	6
M46.9	Nieokreślone zapalne choroby kręgosłupa	375	934	1191	1,15	1,87	2,38	7	5	5
M46.8	Inne określone zapalne choroby kręgosłupa	344	686	762	1,06	1,37	1,52	6	6	6
M08.0	Młodzieńcze reumatoidalne zapalenie stawów	338			1,04			6		
M46.1	Zapalenie stawów krzyżowo-biodrowych [sacroilitis] niesklasyfikowanych gdzie indziej	339			1,04			8		

Źródło: opracowanie własne na podstawie danych NFZ (NFZ, 2017)

## H88

Na poniższym wykresie przedstawiono liczbę hospitalizacji rozliczonych w ramach JGP H88 na przestrzeni lat 2009–2016.



**Rysunek 10.** Liczba pacjentów oraz liczba hospitalizacji rozliczonych w ramach JGP H88 na przestrzeni lat 2009–2016 (NFZ, 2017)

Liczba hospitalizacji utrzymywała się na zbliżonym poziomie na przestrzeni lat 2009–2015. Wzrost liczby hospitalizacji nastąpił w 2016 r. i wynosił 11,15% względem roku 2009 i 18,37% względem roku 2015. Podobna tendencja dotyczy liczby pacjentów oraz udziału JGP w całej sekcji H (porównaj poniższa tabela).

**Tabela 15** Udział grupy H88 w sekcji H na przestrzeni lat 2009–2016

Rok	2009	2010	2011	2012	2013	2014	2015	2016
Udział JGP w sekcji H	0,56%	0,51%	0,50%	0,48%	0,51%	0,54%	0,54%	0,63%

Źródło: opracowanie własne na podstawie danych NFZ (NFZ, 2017)

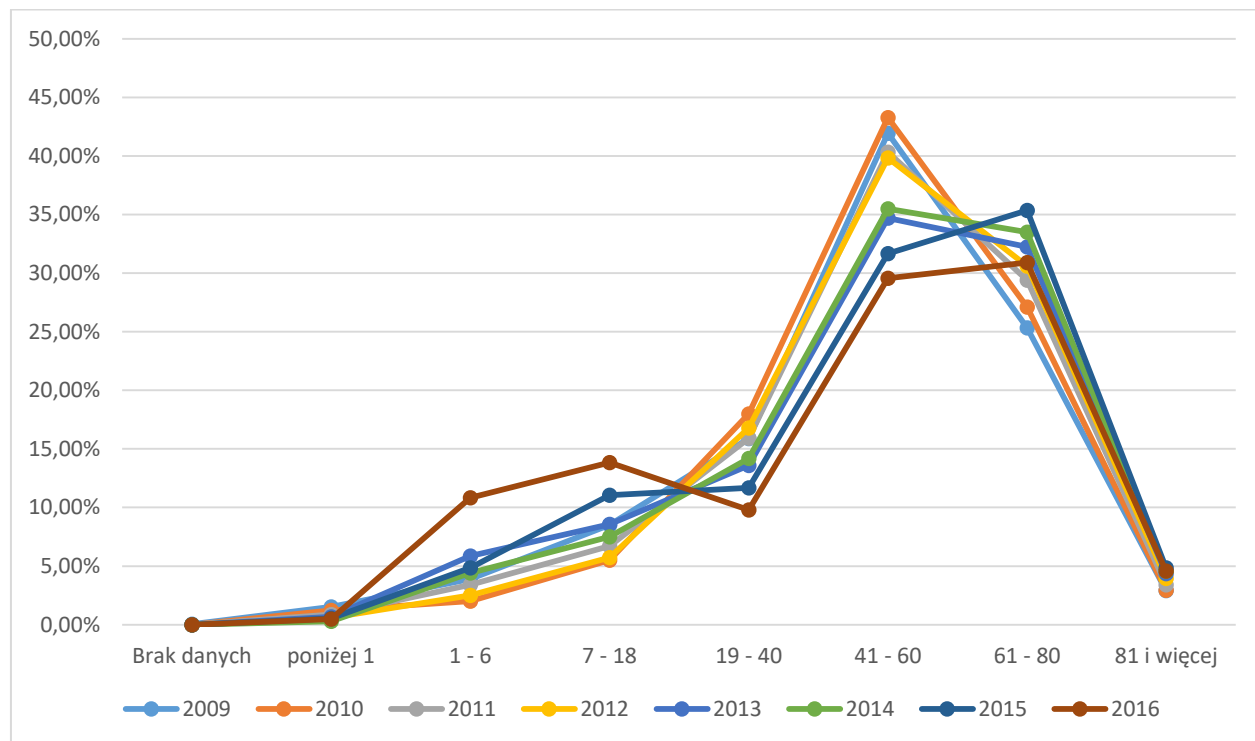
Równocześnie w każdym z analizowanych lat liczba hospitalizacji przekraczała liczbę pacjentów. Współczynnik rehospitalizacji wahał się w zakresie od 7%–10% w analizowanym okresie. Szczegółowe dane znajdują się w poniższej tabeli.

Tabela 16 Współczynnik rehospitalizacji w grupie H88 na przestrzeni lat 2009–2016

Rok	2009	2010	2011	2012	2013	2014	2015	2016
Współczynnik rehospitalizacji	1,08	1,07	1,08	1,09	1,1	1,08	1,1	1,08

Źródło: opracowanie własne na podstawie danych NFZ (NFZ, 2017)

W każdym z analizowanych lat największa liczba hospitalizacji dotyczyła osób w przedziale wiekowym 41–60 lat. Na poniższym wykresie przedstawiono jak kształtował się udział poszczególnych grup wiekowych w ogólnej liczbie hospitalizacji na przestrzeni analizowanych lat.



Rysunek 11. Udział poszczególnych grup wiekowych w ogólnej liczbie hospitalizacji rozliczonych w ramach JGP H88 na przestrzeni lat 2009–2016 (NFZ, 2017)

W każdym z analizowanych lat największa liczba hospitalizacji odbywała się w szpitalach gminnych, powiatowych, miejskich oraz wojewódzkich, zaś najmniejsza w szpitalach niepublicznych i innych (por. poniższa tabela).

Tabela 17 Liczba hospitalizacji rozliczonych w ramach JGP H88 na przestrzeni lat 2009–2016 w podziale na typy świadczeniodawców

Rok/Typ szpitala	Gminny, powiatowy, miejski	Niepubliczne	Kliniczne	Wojewódzkie	Inne	Wszystkie typy szpitali
2009	1004	39	930	1 465	139	3 577
2010	9 56	90	786	1 447	70	3 349
2011	1 148	94	803	1 270	41	3 356
2012	964	84	755	1 363	43	3 209
2013	1 182	141	752	1 245	52	3 372
2014	1 340	135	663	1 186	36	3 360
2015	1 340	150	728	1 107	34	3 359

Rok/Typ szpitala	Gminny, powiatowy, miejski	Niepubliczne	Kliniczne	Wojewódzkie	Inne	Wszystkie typy szpitali
2016	1 671	193	761	1 318	33	3 976
Stopa zmiany względem 2009 r. (%)	66,43%	114,44%	-18,17%	-10,03%	-49,64%	11,15%

Źródło: opracowanie własne na podstawie danych NFZ (NFZ, 2017)

Obserwuje się systematyczny spadek liczby hospitalizacji udzielanych przez szpitale kliniczne oraz inne szpitale. Należy zauważyć, że w tych typach szpitali obserwuje się również niewielki spadek średniej wartości grupy. Szczegółowe dane przedstawiono w poniższej tabeli.

**Tabela 18 Wartość grupy H88 w podziale na typy świadczeniodawców na przestrzeni lat 2009–2016**

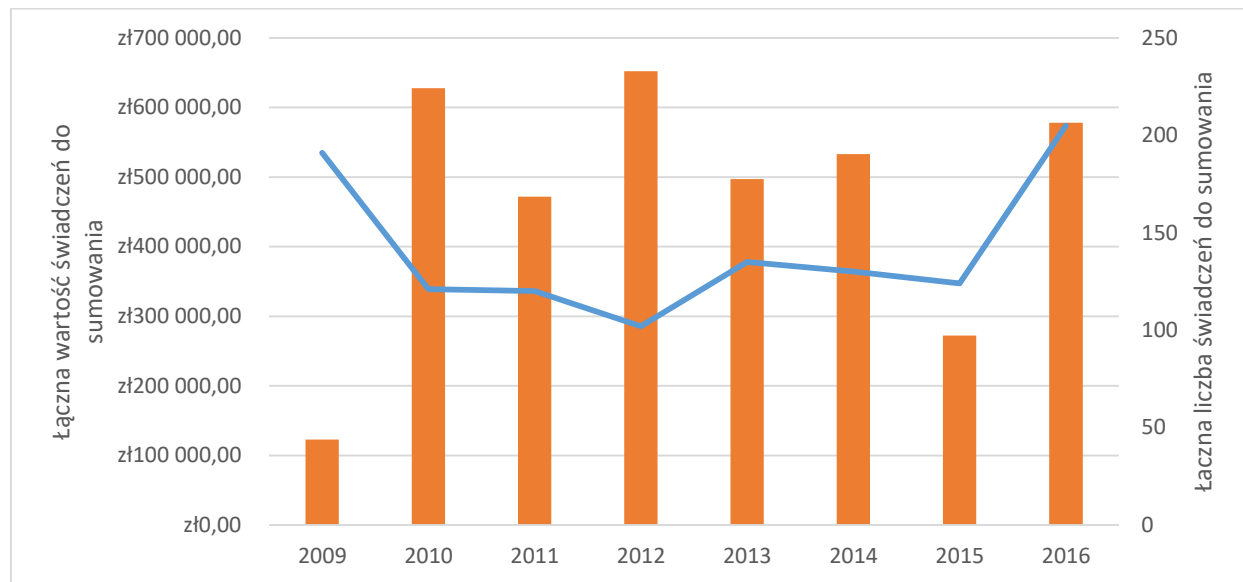
Rok/Typ szpitala	Gminny, powiatowy, miejski	Niepubliczne	Kliniczne	Wojewódzkie	Inne	Wszystkie typy szpitali
2009	3 402,78 zł	3 194,95 zł	3 407,28 zł	3 405,54 zł	3 414,06 zł	3 403,25 zł
2010	3 105,40 zł	3 387,32 zł	3 473,08 zł	3 446,65 zł	3 803,14 zł	3 361,30 zł
2011	3 340,05 zł	4 186,60 zł	3 347,07 zł	3 460,41 zł	3 234,15 zł	3 409,70 zł
2012	3 541,07 zł	3 522,16 zł	3 520,56 zł	3 490,32 zł	3 600,09 zł	3 514,98 zł
2013	3 622,77 zł	3 422,16 zł	3 422,92 zł	3 451,75 zł	3 220,00 zł	3 500,46 zł
2014	3 466,44 zł	3 500,43 zł	3 326,81 zł	3 478,31 zł	3 573,56 zł	3 445,59 zł
2015	3 470,93 zł	3 608,18 zł	3 371,80 zł	3 465,81 zł	2 951,76 zł	3 448,63 zł
2016	3 484,53 zł	3 546,03 zł	3 347,16 zł	3 454,64 zł	3 410,25 zł	3 450,70 zł
Stopa zmiany względem 2009 r. (%)	2,40%	10,99%	-1,76%	1,44%	-0,11%	1,39%

Źródło: opracowanie własne na podstawie danych NFZ (NFZ, 2017)

Średnia wartość hospitalizacji była wyższa od średniej wartości grupy średnio o 137 zł w analizowanym okresie (od 34 zł w 2009 roku do 188 zł w 2010 roku).

Na poniższym wykresie przedstawiono liczbę hospitalizacji związaną z rozliczaniem świadczeń do sumowania oraz ich wartość na przestrzeni lat 2009–2016. Wśród świadczeń do sumowania pojawia się: pobyt w OAIIT, przetoczenie preparatów krwi i innych substancji, rehabilitacja, chemioterapia, dializy, leczenie żywieniowe oraz pozostałe świadczenia. Struktura liczby udzielanych do sumowania jest różna w każdym z analizowanych lat.





**Rysunek 12.** Liczba hospitalizacji związana z rozliczaniem świadczeń do sumowania w grupie H88 oraz ich wartość na przestrzeni lat 2009–2016 (NFZ, 2017)

Na przestrzeni analizowanych lat obserwuje się skrócenie mediany hospitalizacji z 10 dni w 2009 roku do 7 dni w 2016 roku. W poniższej tabeli przedstawiono dane dotyczące długości hospitalizacji w podziale na poszczególne kategorie wiekowe. Najdłuższe czasy pobytu dotyczą osób > 81 r.ż.

**Tabela 19** Długość hospitalizacji (mediana) rozliczanych grupą H88 na przestrzeni lat 2009–2016 (w dniach) z uwzględnieniem wieku pacjentów

Rok/ Kategoria wiekowa	Brak danych	Poniżej 1	1–6	7–18	19–40	41–60	61–80	81 i więcej	Ogółem
2009	2	14	5	7	8	10	11	13	10
2010		13	8	7	9	10	11	14	10
2011		12	4	6	8	9	10	10	9
2012		15	5	6	8	9	11	11	9
2013		12	4	4	8	10	10	12	9
2014		10	3	5	7	10	10	11	9
2015		9	3	3	8	9	9	11	8
2016		9	3	3	9	9	9	13	7

Źródło: opracowanie własne na podstawie danych NFZ (NFZ, 2017)

Równocześnie obserwuje się różnice w medianie czasu hospitalizacji pomiędzy poszczególnymi typami świadczeniodawców – szczegółowe dane znajdują się w poniższej tabeli.

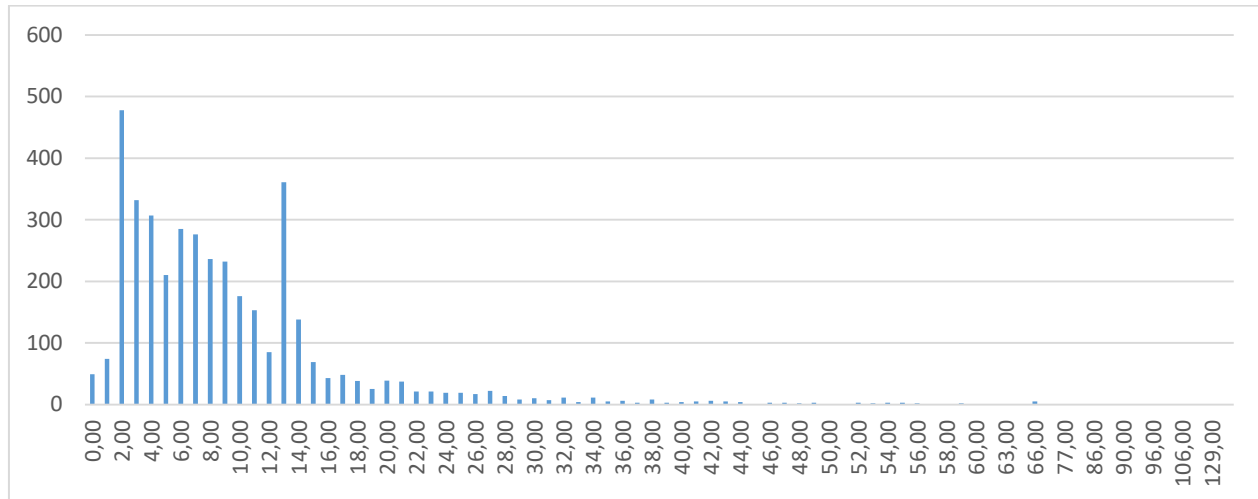
**Tabela 20** Długość hospitalizacji (mediana) rozliczanych grupą H88 na przestrzeni lat 2009–2016 (w dniach) z uwzględnieniem typów świadczeniodawców

Rok/Typ szpitala	Gminny, powiatowy, miejski	Niepubliczne	Kliniczne	Wojewódzkie	Inne	Wszystkie typy szpitali
2009	10	10	8	10	13	10
2010	9	10	8	12	13	10
2011	8	13	7	11	13	9
2012	9	9	7	10	11	9
2013	9	6	7	10	9	9

Rok/Typ szpitala	Gminny, powiatowy, miejski	Niepubliczne	Kliniczne	Wojewódzkie	Inne	Wszystkie typy szpitali
2014	9	7	7	10	11	9
2015	8	5	7	10	8	8
2016	8	5	6	9	9	7

Źródło: opracowanie własne na podstawie danych NFZ (NFZ, 2017)

Poniżej przedstawiono histogram czasu pobytu w 2016 roku. Największa liczba dotyczy w pierwszej kolejności hospitalizacji 2-dniowych, na drugim miejscu znajdują się hospitalizacje 13-dniowe.



Rysunek 13. Histogram czasu pobytu dla grupy H88 w 2016 r. (opracowanie własne na podstawie danych z bazy NFZ za 2016 r.)

W poniższej tabeli przedstawiono odsetki hospitalizacji rozliczanych w ramach JGP H88 w podziale na poszczególne typy oddziałów. Struktura udzielnych świadczeń w zależności od typu oddziału pozostaje podobna w każdym z analizowanych lat. Co prawda w 2016 roku zmniejszył się odsetek liczby udzielnych świadczeń w oddziałach ortopedii i traumatologii narządu ruchu, należy jednak zauważyć, że liczba bezwzględna hospitalizacji pozostawał na podobnym poziomie. Zmiana ta wynika z ogólnego wzrostu liczby udzielanych świadczeń i zwiększenia liczby świadczeń udzielanych na oddziałach pediatrycznych.

Tabela 21 Odsetek hospitalizacji dla JGP H88 w latach 2009–2016 w podziale na poszczególne zakresy udzielania świadczeń (%)

Zakres świadczeń	Udział (%)							
	2009	2010	2011	2012	2013	2014	2015	2016
03.4580.030.02 - Ortopedia i Traumatologia. Narządu Ruchu - Hospitalizacja	43,5	43,06	40,35	42,54	42,47	38,39	34,47	26,63
03.4340.030.02 - Choroby Zakaźne - Hospitalizacja	35,81	40,07	40,23	41,48	35,77	40,6	41,32	41,3
03.4000.030.02 - Choroby Wewnętrzne - Hospitalizacja	4,89	5,02	5,66	4,55	4,66	5,8	4,47	4,05
03.4501.030.02 - Chirurgia Dziecięca - Hospitalizacja	3,94	3,25	2,59	2,37	2,7	3,57	3,45	1,96
03.4581.030.02 - Ortopedia i Traumatologia Narządu Ruchu Dziecięca - Hospitalizacja	3,33	2,12	2,5	3,15	3,02	3,36	5,42	3,77
03.4280.030.02 - Reumatologia - Hospitalizacja	2,49	2,69	1,88	2,03	0	1,76	1,22	1,03
03.4401.030.02 - Pediatria - Hospitalizacja	2,4	0	3,4	1,65	6,58	3,3	5,63	14,66

Zakres świadczeń	Udział (%)							
	2009	2010	2011	2012	2013	2014	2015	2016
03.4281.030.02 - Reumatologia Dziecięca - Hospitalizacja	1,34	0	0	0	0	0	0	2,57
03.4220.030.02 - Neurologia - Hospitalizacja	1,01	1,22	1,52	0	1,04	1,46	1,64	2,09

Źródło: opracowanie własne na podstawie danych NFZ (NFZ, 2017)

Liczba hospitalizacji planowych jest niższa w każdym z analizowanych lat od liczby hospitalizacji z przyczyn nagłych. Odsetek hospitalizacji planowych mieścił się w zakresie od 39,86% w 2013 roku do 50% w 2009 roku, oscylując wokół 45%. Natomiast odsetek przyjęć w trybie nagłym mieścił się w zakresie od 49% w 2009 roku do 60% w 2013 roku, oscylując wokół 54%.

Struktura rozpoznań w grupie H88 w latach 2009 – 2016 jest zróżnicowana. W analizowanym okresie najczęściej hospitalizacji w poszczególnych latach wiązało się z zapaleniem stawów w chorobie z Lyme (A69.2+), (M01.2). Ogółem najdłuższy czas pobytu (mediana) wiązał się z rozpoznaniem infekcja krążka międzykręgowego (ropna), (M46.3).

Szczegółowe informacje znajdują się w poniższej tabeli.

Tabela 22 Struktura grupy H88 w odniesieniu do rozpoznai na przestrzeni lat 2009–2016

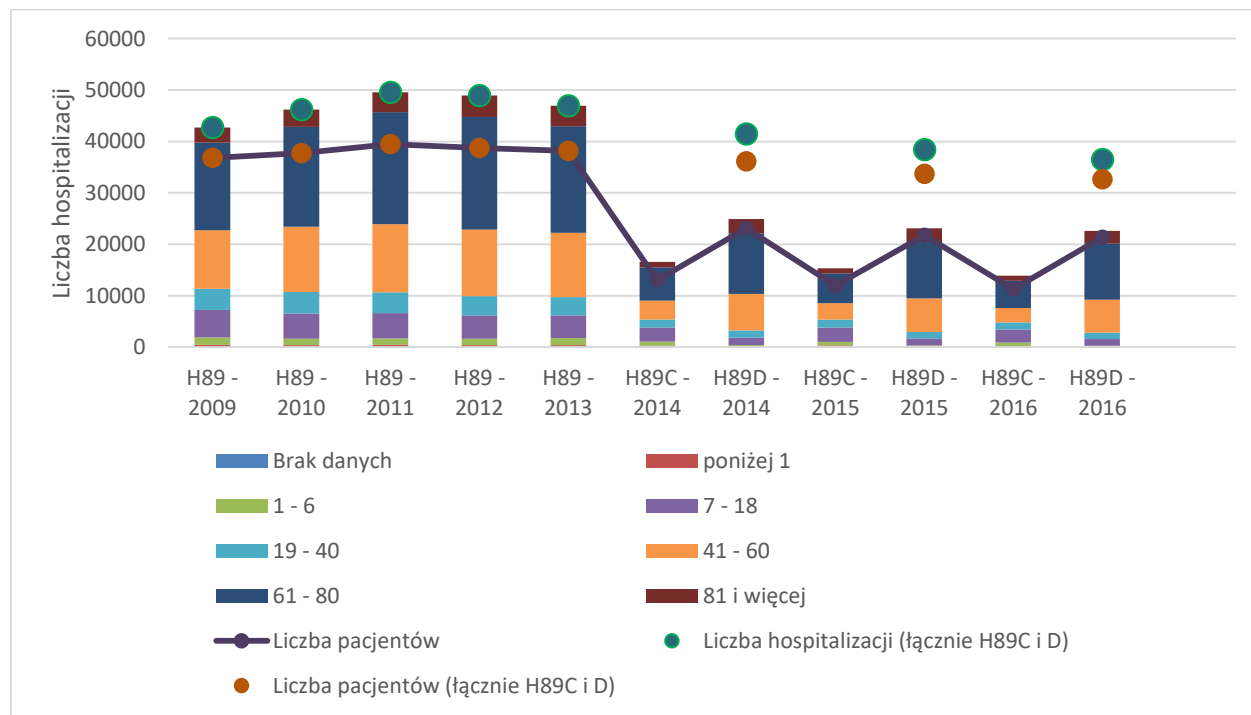
ICD10	Nazwa	Lb. hospitalizacji								Udział (%)								Mediana czasu pobytu (dni)									
		2009	2010	2011	2012	2013	2014	2015	2016	2009	2010	2011	2012	2013	2014	2015	2016	2009	2010	2011	2012	2013	2014	2015	2016		
M00.8	Inne bakteryjne zapalenia jedno- lub wielostawowe	445	403	435	360	368	414	431	256	12,44	12,03	12,96	11,22	10,9 1	12,3 2	12, 8	6,44	11	10	9	8	9	9	7	9		
M86.6	Inne przewlekłe zapalenie kości i szpiku	311	259	291	359	408	354	370	299	8,69	7,73	8,67	11,19	12,1	10,5 4	11	7,52	8	8	7	7	7	8	8	8		
M86.8	Inne zapalenie kości i szpiku	308	289	233	184	171	234	192	182	8,61	8,63	6,94	5,73	5,07	6,96	5,7 2	4,58	8	9	8	9	8	8	7	8		
M86.4	Przewlekłe zapalenie kości i szpiku z drenującą zatoką	270	272	264	224	212	175	168	175	7,55	8,12	7,87	6,98	6,29	5,21	5	4,4	10	10	9	9	10	9	10	9		
M00.9	Ropne zapalenia stawów, nie określone	201	190	168	192	203	180	161	153	5,62	5,67	5,01	5,98	6,02	5,36	4,7 9	3,85	9	11	10	9	10	11	10	1 1		
M00.0	Gronkowcowe zapalenie jedno- lub wielostawowe	177	164	166	180	201	169	128	151	4,95	4,9	4,95	5,61	5,96	5,03	3,8 1	3,8	14	14	12	12	12	12	11	1 0		
M60.0	Infekcyjne zapalenie mięśni	131	68	152	84	302	147	220	717	3,66	2,03	4,53	2,62	8,96	4,38	6,5 5	18	6	9	5	5	4	5	4	4		
M86.1	Inne ostre zapalenie kości i szpiku	85	87	74	65	62	44	62	58	2,38	2,6	2,21	2,03	1,84	1,31	1,8 5	1,46	10	10	11	11	14	8	8	1 1		
M86.2	Podostre zapalenie kości i szpiku	71	68	71	60	53	64	39		1,98	2,03	2,12	1,87	1,57	1,9	1,1 6		10	10	9	9	11	7	8			
M86.0	Ostre krwipochodne zapalenie kości i szpiku	69	54	40	47	44		37		1,93	1,61	1,19	1,46	1,3		1,1		10	11	6	12	12		10			

M46.5	Inne infekcyjne choroby kręgosłupa	57	68	54	57	57	74	71	65	1,59	2,03	1,61	1,78	1,69	2,2	2,1 1	1,63	10	13	13	15	17	9	13	14
M86.3	Przewlekłe wielogniskowe zapalenie kości i szpiku	56	53		61	69	78	127	119	1,57	1,58		1,9	2,05	2,32	3,7 8	2,99	7	8		4	3	4	2	2
M00.2	Paciorkowcowe zapalenia jedno- lub wielostawowe	53					36			1,48					1,07			5					12		
M46.2	Zapalenie kości i jamy szpikowej kręgu	51	59	51	85	89	82	94	86	1,43	1,76	1,52	2,65	2,64	2,44	2,8	2,16	20	8	16	5	7	8	9	8
M46.3	Infekcja krążka międzykręgowego (ropna)	39	46	37	32	55	46	68	105	1,09	1,37	1,1	1	1,63	1,37	2,0 2	2,64	14	11	16	18	16	15	15	16
M01.2	Zapalenie stawów w chorobie z Lyme (A69.2+)	1123	118 4	116 9	111 1	104 5	114 9	108 9		31,4	35,35	34,83	34,62	30,9 9	34,2	32, 4		11	11	9	9	9	10	9	
M49.0	Gruźlica kręgosłupa (A18.0+)	37								1,03								8							

Źródło: opracowanie własne na podstawie danych NFZ (NFZ, 2017)

## JGP H89, H89C i D

Na poniższym wykresie przedstawiono liczbę hospitalizacji rozliczonych w ramach JGP H89C i D na przestrzeni lat 2009–2016. Pierwotnie istniała jedna grupa H89, z której zostały wydzielone grupy H89C oraz H89D (według kryterium długości pobytu). Obserwuje się spadek liczby hospitalizacji (grupy H89C i D analizowane łącznie) w latach 2014–2016, co znajduje swoje odzwierciedlenie w udziale przedmiotowych JGP w sekcji H (porównaj poniższa tabela).



**Rysunek 14.** Liczba pacjentów oraz liczba hospitalizacji rozliczonych w ramach JGP H89, H89C i D na przestrzeni lat 2009–2016 (NFZ, 2017)

**Tabela 23** Udział grupy H89, H89C i D w sekcji H na przestrzeni lat 2009–2016

JGP/Rok	2009	2010	2011	2012	2013	2014	2015	2016
H89	6,70%	7,08%	7,45%	7,37%	7,13%			
H89C						2,67%	2,44%	2,19%
H89D						4,02%	3,68%	3,58%
łącznie H89C i H89D						6,69%	6,12%	5,77%

Źródło: opracowanie własne na podstawie danych NFZ (NFZ, 2017)

Równocześnie w każdym z analizowanych lat liczba hospitalizacji przekracza liczbę pacjentów. Odsetek powtórnych hospitalizacji oscyluje wokół 20% (jeśli grupy H89C oraz H89D analizuje się łącznie). Po wydzieleniu JGP H89C oraz H89D można zaobserwować, że współczynnik rehospitalizacji jest znacząco niższy w grupie H89C w porównaniu z grupą H89D. Szczegółowe dane przedstawiono w poniższej tabeli.

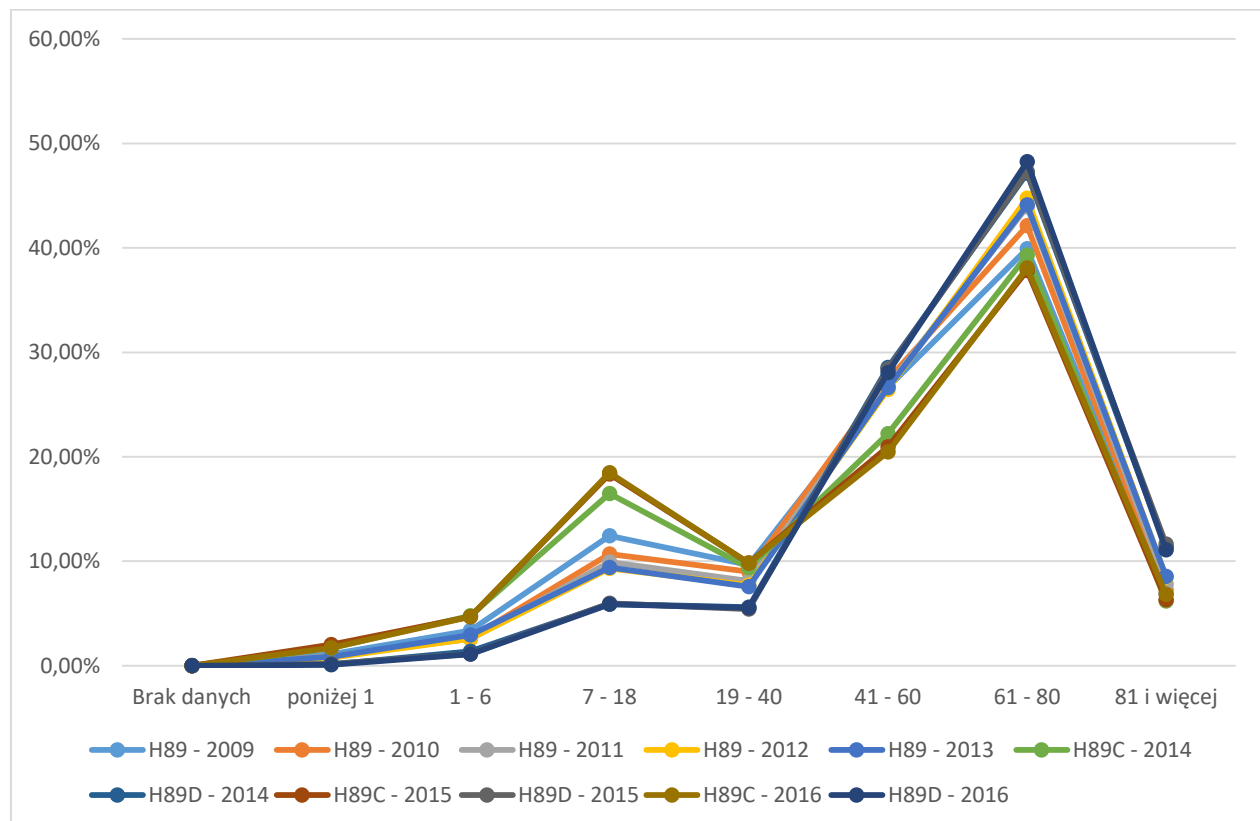
**Tabela 24** Współczynnik rehospitalizacji dla grup H89, H89C i D na przestrzeni lat 2009–2016

JGP/Rok	2009	2010	2011	2012	2013	2014	2015	2016
H89	1,16	1,22	1,26	1,26	1,23			
H89C						1,27	1,28	1,23

JGP/Rok	2009	2010	2011	2012	2013	2014	2015	2016
H89D						1,08	1,06	1,06
H89C i D łącznie						1,15	1,14	1,12

Źródło: opracowanie własne na podstawie danych NFZ (NFZ, 2017)

Największa liczba hospitalizacji dotyczy osób z grupy wiekowej 61–80. Szczegółowe dane przedstawiono na poniższym wykresie.



**Rysunek 15.** Udział poszczególnych grup wiekowych w ogólnej liczbie hospitalizacji rozliczonych w ramach JGP H89, H89C i D na przestrzeni lat 2009–2016 (NFZ, 2017)

W latach 2009–2013 największa liczba hospitalizacji miała miejsce w szpitalach gminnych, powiatowych i miejskich, zaś najmniejsza w niepublicznych i innych. Po wydzieleniu JGP H89C oraz H89D zmieniły się proporcje. Największa liczba świadczeń rozliczanych w ramach H89D nadal była udzielana w szpitalach gminnych, miejskich i powiatowych, natomiast największa liczba hospitalizacji rozliczanych w ramach H89C (krótkie pobyty) dotyczy szpitali klinicznych, a dopiero w drugiej kolejności szpitali gminnych, powiatowych i miejskich (por. poniższa tabela).

**Tabela 25** Liczba hospitalizacji rozliczonych w ramach JGP H89, H89C i D na przestrzeni lat 2009–2016 w podziale na typy świadczeniodawców

Rok/Typ szpitala	Gminny, powiatowy, miejski	Niepubliczne	Kliniczne	Wojewódzkie	Inne	Wszystkie typy szpitali
H89 - 2009	16 162	1 371	10 692	13 068	1 442	42 735
H89 - 2010	16 986	1 757	10 584	14 528	2 372	46 227
H89 - 2011	20 033	2 392	11 335	13 061	2 768	49 589

Rok/Typ szpitala	Gminny, powiatowy, miejski	Niepubliczne	Kliniczne	Wojewódzkie	Inne	Wszystkie typy szpitali
H89 - 2012	19 602	3 226	11 266	12 544	2 304	48 942
H89 - 2013	18 319	2 960	11 003	12 756	1 944	46 982
H89C - 2014	5 506	620	5 771	4 103	549	16 549
H89C - 2015	5 140	551	5 675	3 552	415	15 333
H89C - 2016	4 325	619	5 301	3 157	454	13 877
H89D - 2014	10 773	2 252	4 497	6 703	700	24 925
H89D - 2015	10 288	2 008	4 074	6 308	438	23 116
H89D - 2016	10 062	1 852	4 027	6 338	356	22 645

Źródło: opracowanie własne na podstawie danych NFZ (NFZ, 2017)

Obserwuje się systematyczny spadek liczby hospitalizacji we wszystkich typach szpitali po wydzielaniu JGP H89C oraz D. Równocześnie nie obserwuje się znacznych zmian wartości JGP na przestrzeni lat w poszczególnych typach szpitali, mimo istnienia ogólnej, lekkiej tendencji wzrostowej. Szczegółowe dane przedstawiono w poniższej tabeli.

Tabela 26 Wartość grupy JGP H89, H89C i D w podziale na typy świadczeniodawców na przestrzeni lat 2009–2016

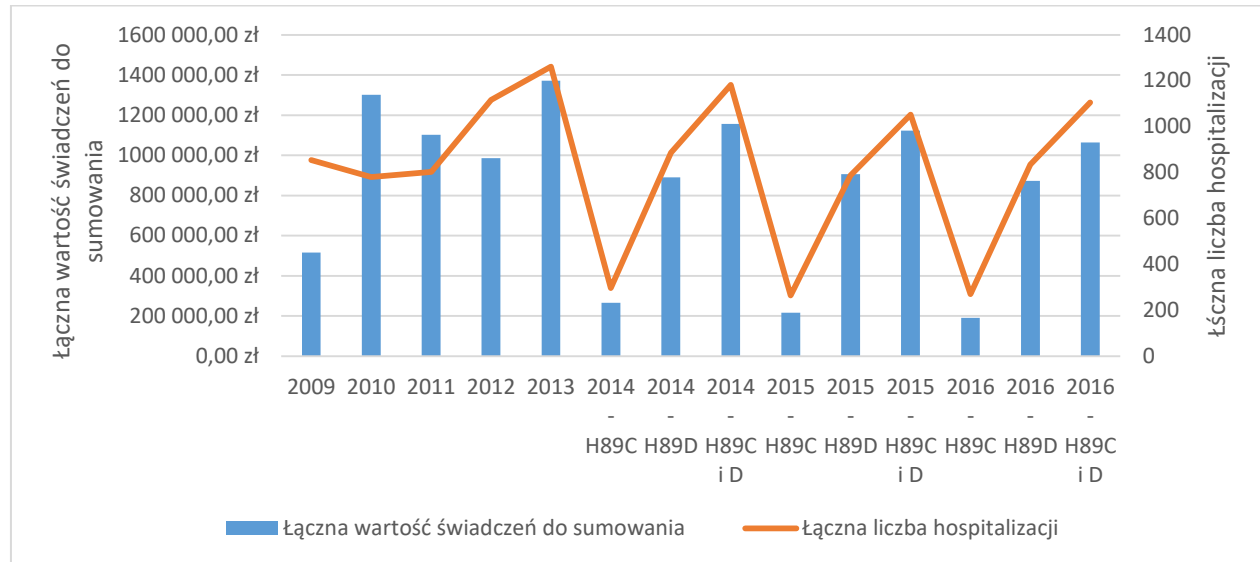
Rok/Typ szpitala	Gminny, powiatowy, miejski	Niepubliczne	Kliniczne	Wojewódzkie	Inne	Wszystkie typy szpitali
H89 - 2009	2 384,33 zł	2 364,82 zł	2 280,89 zł	2 324,53 zł	2 487,76 zł	2 343,02 zł
H89 - 2010	2 014,24 zł	1 956,30 zł	1 911,11 zł	1 801,84 zł	2 092,19 zł	1 925,67 zł
H89 - 2011	1 927,76 zł	1 946,22 zł	1 878,41 zł	2 017,77 zł	2 103,53 zł	1 950,89 zł
H89 - 2012	2 031,74 zł	1 973,75 zł	1 893,18 zł	2 043,48 zł	2 110,12 zł	2 002,72 zł
H89 - 2013	1 969,51 zł	2 037,59 zł	1 805,50 zł	1 999,82 zł	2 011,36 zł	1 945,35 zł
H89C - 2014	622,44 zł	620,24 zł	622,65 zł	623,41 zł	623,63 zł	622,71 zł
H89C - 2015	622,40 zł	621,95 zł	623,92 zł	623,43 zł	624,00 zł	623,23 zł
H89C - 2016	621,03 zł	619,67 zł	645,54 zł	625,62 zł	622,97 zł	631,45 zł
H89D - 2014	2 182,99 zł	2 182,30 zł	2 182,78 zł	2 186,03 zł	2 191,51 zł	2 183,95 zł
H89D - 2015	2 178,20 zł	2 186,21 zł	2 190,00 zł	2 191,28 zł	2 180,22 zł	2 184,58 zł
H89D - 2016	2 164,67 zł	2 180,18 zł	2 232,32 zł	2 191,61 zł	2 188,80 zł	2 185,90 zł

Źródło: opracowanie własne na podstawie danych NFZ (NFZ, 2017)

Wartość hospitalizacji przekraczała wartość grupy w każdym z analizowanych lat średnio o 22,36 zł przed wydzielaniem nowych grup, o 14,09 zł dla JGP H89C oraz o 37,83 zł dla JGP H89D.

Na poniższym wykresie przedstawiono liczbę hospitalizacji związaną z rozliczaniem świadczeń do sumowania oraz ich wartość na przestrzeni lat 2009–2016. Wśród świadczeń do sumowania pojawia się: pobyt w OAiT, przetoczenie preparatów krwi i innych substancji, rehabilitacja, chemioterapia, teleradioterapia, brachyterapia, terapia izotopowa, dializy, leczenie żywieniowe, konsylium, programy lekowe oraz pozostałe świadczenia. Struktura liczby udzielanych do sumowania jest różna w każdym z analizowanych lat.





**Rysunek 16.** Liczba hospitalizacji związana z rozliczaniem świadczeń do sumowania w grupie H89, H89C i D oraz ich wartość na przestrzeni lat 2009–2016 (NFZ, 2017)

W poniższej tabeli przedstawiono dane dotyczące długości hospitalizacji w podziale na poszczególne kategorie wiekowe. Najdłuższe czasy pobytu dotyczą osób > 81 r.ż. – odnosi się to jednak tylko do JGP H89 oraz H89D. Mediana długości hospitalizacji dla JGP H89C mieści się w zakresie od 0 (dzieci <1 r.ż.) do 1.

**Tabela 27** Długość hospitalizacji (mediana) rozliczanych grupą H89, H89C i D na przestrzeni lat 2009–2016 (w dniach)

JGP/Grupa wiekowa	poniżej 1	1 - 6	7 - 18	19 - 40	41 - 60	61 - 80	81 i więcej	Ogółem
H89 - 2009	2	2	3	3	5	6	8	4
H89 - 2010	2	2	3	3	4	4	7	4
H89 - 2011	2	2	2	3	3	3	5	3
H89 - 2012	2	2	2	3	3	3	4	3
H89 - 2013	1	2	2	2	3	3	5	3
H89C - 2014	0	1	1	1	1	1	1	1
H89C - 2015	0	1	1	1	1	1	1	1
H89C - 2016	0	1	1	1	1	1	1	1
H89D - 2014	4	5	4	6	7	7	8	7
H89D - 2015	5	5	4	5	7	7	8	7
H89D - 2016	6	5	4	5	7	7	7	7

Źródło: opracowanie własne na podstawie danych NFZ (NFZ, 2017)

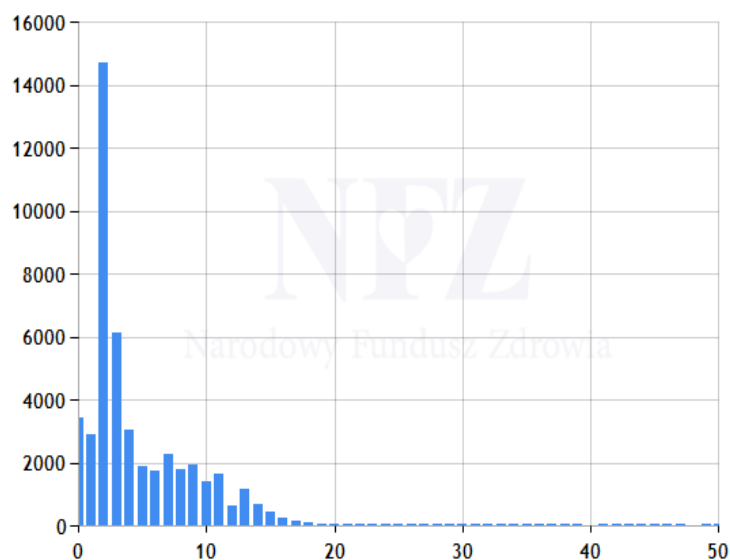
Równocześnie obserwuje się różnice w medianie czasu hospitalizacji pomiędzy poszczególnymi typami świadczeniodawców. Najkrótsze pobyty w przypadku JGP H89 oraz H89D dotyczyły szpitali klinicznych i innych. Nie obserwuje się różnic w długości pobytu pomiędzy różnymi typami szpitali w odniesieniu do JGP H89C. Szczegółowe dane znajdują się w poniższej tabeli.

**Tabela 28 Długość hospitalizacji (mediana) rozliczanych grupą H89, H89C i D na przestrzeni lat 2009–2016 (w dniach) z uwzględnieniem typów świadczeniodawców**

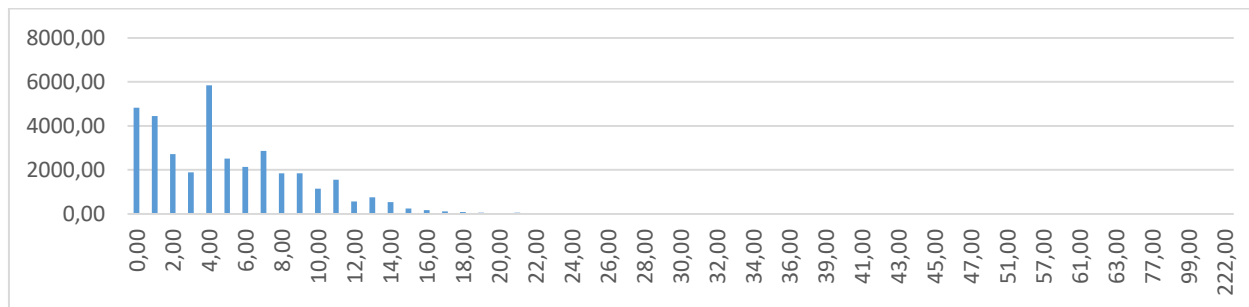
Rok/Typ szpitala	Gminny, powiatowy, miejski	Niepubliczne	Kliniczne	Wojewódzkie	Inne	Wszystkie typy szpitali
H89 - 2009	7	7	3	5	3	4
H89 - 2010	5	6	3	3	2	4
H89 - 2011	3	5	2	3	2	3
H89 - 2012	3	4	2	3	2	3
H89 - 2013	3	4	2	3	2	3
H89C - 2014	1	2	1	1	1	1
H89C - 2015	1	1	1	1	1	1
H89C - 2016	1	1	1	1	1	1
H89D - 2014	8	7	5	7	4	7
H89D - 2015	7	7	5	7	4	7
H89D - 2016	7	7	5	7	4	7

Źródło: opracowanie własne na podstawie danych NFZ (NFZ, 2017)

Poniżej przedstawiono histogram czasu pobytu dla JHP H89 sprzed podziału, tj. dla 2013 roku oraz dla porównania dla 2016 roku analizując JGP H89C i H89D łącznie. W 2013 roku największa liczba dotyczyła w pierwszej kolejności hospitalizacji 2-dniowych, na drugim miejscu znajdowały się hospitalizacje 3-dniowe. W 2016 roku na pierwszym miejscu znajdowały się hospitalizacje 4-dniowe, na drugim miejscu pobyty krótsze niż jedna doba, a na 3 miejscu pobyty 3-dniowe.



**Rysunek 17. Histogram czasu pobytu dla grupy H89 w 2013 r. (NFZ, 2017)**



Rysunek 18. Histogram czasu pobytu dla grupy H89C i H89D (łącznie) w 2016 r. (NFZ, 2017)

W poniższej tabeli przedstawiono odsetki hospitalizacji rozliczanych w ramach JGP H89, H89C i D w podziale na poszczególne typy oddziałów. Po wydzieleniu JGP H89C oraz H89D zmieniła się struktura oddziałów na, których udzielany jest największy odsetek świadczeń. W przypadku JGP H89 oraz H89C największy odsetek świadczeń był udzielany w oddziałach ortopedii i traumatologii narządu ruchu, natomiast w przypadku JGP H89D największy odsetek hospitalizacji dotyczył oddziałów reumatologii. Należy jednak podkreślić, że bezwzględna liczba świadczeń udzielanych w ramach JGP H89D na oddziale reumatologii jest zbliżona do liczby świadczeń udzielanych w ramach H89 przed podziałem. Podobnie w przypadku H89C, gdzie bezwzględna liczba świadczeń udzielanych w ramach H89C w oddziałach ortopedii i traumatologii narządu ruchu jest zbliżona do liczby świadczeń udzielanych w ramach H89 przed podziałem. Należy również zaznaczyć, że najdłuższe czasy hospitalizacji w przypadku JGP H89 oraz H89D dotyczą oddziałów reumatologii (mediana od 8 do 11 dni na przestrzeni analizowanych lat, przy czym obserwuje się tendencję spadkową) oraz geriatry (mediana od 9 do 7 dni na przestrzeni analizowanych lat, przy czym obserwuje się tendencję spadkową).

Tabela 29 Zakres świadczeń dla grup H89, H89C i D w latach 2009-2016

Zakres świadczeń	2009	2010	2011	2012	2013	2014 - H89C	2015 - H89C	2016 - H89C	2014 - H89D	2015 - H89D	2016 - H89D
03.4580.030.02 - Ortopedia i Traumat Narz Ruchu - Hospitalizacja	44,47	44,13	43,68	38,09	38,09	52,21	54,03	52,91	19,52	18,56	17,71
03.4280.030.02 - Reumatologia - Hospitalizacja	24,08	22,05	20,62	21,76	21,76	4,54	4,51	4,32	42,64	44,05	42,91
03.4000.030.02 - Choroby Wewnętrzne - Hospitalizacja	11,52	13,15	15,04	14,22	14,22	12,58	10,4	11,48	14,88	14,73	14,14
03.4581.030.02 - Ortopedia i Traumat Narz Ruchu Dziecięca - Hospitalizacja	7,21	6,3	5,99	7,31	7,31	12,13	14,58	14,75	4,79	4,6	4,44
03.4220.030.02 - Neurologia - Hospitalizacja	2,99	4,66	4,36	5,53	5,53				8,23	8,76	10,92
03.4060.030.02 - Geriatria - Hospitalizacja	2,11	1,97	1,84	2,31	2,31			1,61	3,55	2,97	3,04
03.4501.030.02 - Chirurgia Dziecięca - Hospitalizacja	2,06	1,61	1,5	1,53	1,53	2,85	2,9	3,09			
03.4401.030.02 - Pediatria - Hospitalizacja	1,79	1,53	1,33	1,57	1,57	3,5	3,46	2,65			

Zakres świadczeń	2009	2010	2011	2012	2013	2014 - H89C	2015 - H89C	2016 - H89C	2014 - H89D	2015 - H89D	2016 - H89D
03.4240.030.02 - Onkologia Kliniczna - Hospitalizacja	1,11			2,49	2,49	3,64	2,17	1,4			
03.4030.030.02 - Endokrynologia - Hospitalizacja		1,95	2,72	3,21	3,21	4,15	3,5	3,81	1,82	1,56	1,19
03.4071.030.02 - Onkologia I Hematologia Dziecięca - Hospitalizacja							1,02	1,17			
03.4570.030.02 - Neurochirurgia - Hospitalizacja								1,08			
03.4340.030.02 - Choroby Zakaźne - Hospitalizacja											1,02

Źródło: opracowanie własne na podstawie danych NFZ (NFZ, 2017)

Liczba hospitalizacji planowych jest wyższa w każdym z analizowanych lat od liczby hospitalizacji z przyczyn nagłych. Odsetek hospitalizacji planowych dla JGP H89 oscylował wokół 76%, zaś nagłych wokół 24%, dla JGP H89C odsetek przyjęć planowych oscylował wokół 83% zaś nagłych wokół 17%, dla JGP H89D odsetek przyjęć planowych oscylował wokół 74% zaś nagłych 26%.

Struktura rozpoznań w grupie H89 w latach 2009 – 2013 jest zróżnicowana. W analizowanym okresie najczęściej hospitalizacji w poszczególnych latach wiązało się z osteoporozą pomenopauzalną (M81.0). Udział tego rozpoznania w analizowanym okresie wynosił od ok. 9 do 17%. Najwięcej hospitalizacji wiązało się z tym rozpoznaniem również w przypadku grupy H89C (2014 – 2016). W przypadku grupy H89D najczęściej hospitalizacji związanych było z rozpoznaniem pierwotnie uogólnionej choroby zwyrodnieniowej stawów (M15.0). W grupie H89 najdłuższy czas pobytu (mediana) został odnotowany w związku z rozpoznaniem wtórnej wielostawowej choroby zwyrodnieniowej stawów (M15.3), jednak należy nadmienić, iż hospitalizacje związane z tym rozpoznaniem sprawozdano jedynie w 2009 i 2013 roku. Nieco inaczej sytuacja przedstawiała się w przypadku grupy H89C – najdłuższe czasy pobytu związane były z rozpoznaniem: przykurcz stawu (M24.5), mechaniczne powikłanie wewnętrznych protez stawów (T84.0), pierwotnie uogólniona choroba zwyrodnieniowa stawów (M15.0). W przypadku grupy H89D najdłuższe czasy pobytu odnotowano w związku z innymi chorobami zwyrodnieniowymi wielostawowymi (M15.8).

Szczegółowe informacje znajdują się w poniższych tabelach.

Tabela 30 Struktura grupy H89 w odniesieniu do rozpoznań na przestrzeni lat 2009–2013

ICD-10	Nazwa	Lb. hospitalizacji					Udział (%)					Mediana czasu pobytu (dni)				
		2009	2010	2011	2012	2013	2009	2010	2011	2012	2013	2009	2010	2011	2012	2013
M15.0	Pierwotnie uogólniona choroba zwyrodnieniowa stawów	4198	4205	4082	4165	4225	9,82	9,1	8,23	8,51	8,99	10	10	9	9	9
M81.0	Osteoporoza pomenopauzalna	3729	6675	8269	8381	7149	8,73	14,44	16,68	17,12	15,22	2	2	2	2	2
M15.8	Inne choroby zwyrodnieniowe wielostawowe	2184	1964	1902	1816	2105	5,11	4,25	3,84	3,71	4,48	10	10	9	9	9
M24.5	Przykurcz stawu	1903	1967	1680	1368	976	4,45	4,26	3,39	2,8	2,08	4	4	3	2	2
M17.0	Pierwotna obustronna gonartroza	1834	1734	1922	1820	1967	4,29	3,75	3,88	3,72	4,19	9	9	5	4	3
M16.0	Pierwotna, obustronna koksartroza	1774	1722	1497	1469	1684	4,15	3,73	3,02	3	3,58	6	7	5	4	3
M15.9	Nieokreślone choroby zwyrodnieniowe wielostawowe	1691	1540	1578	1557	1632	3,96	3,33	3,18	3,18	3,47	8	8	8	7	7
M20.1	Paluch koślawy [Hallux valgus](nabyty)	1211	1343	1211	873	812	2,83	2,91	2,44	1,78	1,73	4	4	3	3	3
M19.8	Inne określone choroby zwyrodnieniowe	1066	1128	1020	916	905	2,49	2,44	2,06	1,87	1,93	6	6	6	5	6
M81.9	Nieokreślona osteoporoza	995	1668	1904	2039	1554	2,33	3,61	3,84	4,17	3,31	3	3	2	3	3
M95.8	Inne określone nabyte zniekształcenia układu mięśniowo-szkieletowego	924	834	825	791	629	2,16	1,8	1,66	1,62	1,34	3	3	3	2	2
C79.5	Wtórny nowotwór	855	833	1053	1626	1792	2	1,8	2,12	3,32	3,81	4	5	4	2	3

ICD-10	Nazwa	Lb. hospitalizacji					Udział (%)					Mediana czasu pobytu (dni)				
		2009	2010	2011	2012	2013	2009	2010	2011	2012	2013	2009	2010	2011	2012	2013
	złośliwy kości i szpiku kostnego															
M23.8	Inne wewnętrzne uszkodzenia stawu kolanowego	824	682	641	564	547	1,93	1,48	1,29	1,15	1,16	2	2	2	2	2
M17.9	Nieokreślona gonartroza	789	908	789	812	867	1,85	1,96	1,59	1,66	1,85	9	8	8	8	8
M81.8	Inna osteoporoza	772	1456	1918	1817	1481	1,81	3,15	3,87	3,71	3,15	3	3	2	2	2
M81.5	Osteoporoza idiopatyczna	737	1091	1384	1047	739	1,72	2,36	2,79	2,14	1,57	3	2	2	2	2
M16.9	Nieokreślona koksartroza	726	806	659	691	696	1,7	1,74	1,33	1,41	1,48	9	9	9	8	8
T84.0	Mechaniczne powikłanie wewnętrznych protez stawów	721	713	733	706	798	1,69	1,54	1,48	1,44	1,7	6	5	5	4	5
M16.1	Inne pierwotne koksartrozy	606	547	551	552	534	1,42	1,18	1,11	1,13	1,14	5	4	3	2	2
M17.1	Inne pierwotne gonartrozy	542	567	603	867	756	1,27	1,23	1,22	1,77	1,61	4	3	2	2	2
M15.3	Wtórna wielostawowa choroba zwyrodnieniowa stawów	506				494	1,18				1,05	12				9
M25.8	Inne określone choroby stawów	502	474	502	587	609	1,17	1,03	1,01	1,2	1,3	6	6	6	5	4
M48.8	Inne określone spondylopatie		974	1256	1574	1670		2,11	2,53	3,22	3,55		3	3	4	4
M22.2	Konflikt rzepkowo-udowy		460			550		1			1,17		2			2
M48.9	Nieokreślone spondylopatie			602	561	592			1,21	1,15	1,26			5	4	4
M95.9	Nabyte zniekształcenia układu mięśniowo-					497					1,06					2

ICD-10	Nazwa	Lb. hospitalizacji					Udział (%)					Mediana czasu pobytu (dni)				
		2009	2010	2011	2012	2013	2009	2010	2011	2012	2013	2009	2010	2011	2012	2013
	szkieletowego, nie określone															
M94.2	Rozmiękanie chrząstki [chondromalacia]					484					1,03					2

Źródło: opracowanie własne na podstawie danych NFZ (NFZ, 2017)

**Tabela 31 Struktura grupy H89C w odniesieniu do rozpoznań na przestrzeni lat 2014–2016**

ICD-10	Nazwa	Lb. hospitalizacji			Udział (%)			Mediana czasu pobytu (dni)		
		2014	2015	2016	2014	2015	2016	2014	2015	2016
M81.0	Osteoporoza pomenopauzalna	2515	1641	1279	15,2	10,7	9,22	1	0	0
M17.0	Pierwotna obustronna gonartroza	914	1012	827	5,52	6,6	5,96	1	1	1
M16.0	Pierwotna, obustronna koksartroza	828	880	935	5	5,74	6,74	1	1	1
C79.5	Wtórny nowotwór złośliwy kości i szpiku kostnego	625	267	243	3,78	1,74	1,75	0	0	0
M22.2	Konflikt rzepkowo-udowy	585	755	626	3,53	4,92	4,51	0	0	0
M81.9	Nieokreślona osteoporoza	558	488	442	3,37	3,18	3,19	1	1	1
M17.1	Inne pierwotne gonartrozy	531	437	382	3,21	2,85	2,75	1	1	1
M81.8	Inna osteoporoza	512	606	407	3,09	3,95	2,93	1	1	1
M94.2	Rozmiękanie chrząstki [chondromalacia]	453	441		2,74	2,88		0	0	
M16.1	Inne pierwotne koksartrozy	369	458	435	2,23	2,99	3,13	1	1	1
M95.8	Inne określone nabyte zniekształcenia układu mięśniowo- szkieletowego	355	268	237	2,15	1,75	1,71	1	1	1
M25.8	Inne określone choroby stawów	354	165	171	2,14	1,08	1,23	1	2	2
M81.5	Osteoporoza idiopatyczna	344			2,08			1		
M24.5	Przykurcz stawu	313	239	226	1,89	1,56	1,63	2	2	2
T84.0	Mechaniczne powikłanie wewnętrznych protez stawów	294	339	402	1,78	2,21	2,9	2	2	2
M23.8	Inne wewnętrzne uszkodzenia stawu kolanowego	279	298	369	1,69	1,94	2,66	1	1	1
M20.1	Paluch koślawy [Hallux valgus](nabyty)	269	287	307	1,63	1,87	2,21	1	1	1
M85.9	Nieokreślone zaburzenia mineralizacji i struktury kości	233	338	195	1,41	2,2	1,41	0	0	0
M15.0	Pierwotnie uogólniona choroba zwyrodnieniowa stawów	216	196	175	1,31	1,28	1,26	2	2	2

ICD-10	Nazwa	Lb. hospitalizacji			Udział (%)			Mediana czasu pobytu (dni)		
		2014	2015	2016	2014	2015	2016	2014	2015	2016
M48.8	Inne określone spondylopatie	214	195	157	1,29	1,27	1,13	1	1	1
M15.9	Nieokreślone choroby zwyrodnieniowe wielostawowe	181			1,09			2		
M85.8	Inne określone zaburzenia mineralizacji i struktury kości	170			1,03			0		
M80.0	Osteoporoza pomenopauzalna ze złamaniem patologicznym		288	345		1,88	2,49		1	1
M23.5	Przewlekła niestabilność kolana		183	148		1,19	1,07		1	1
M23.3	Inne uszkodzenia łąkotki		160	184		1,04	1,33		1	1
D16.2	Kości długie kończyny dolnej		158	190		1,03	1,37		1	1

Źródło: opracowanie własne na podstawie danych NFZ (NFZ, 2017)

Tabela 32 Struktura grupy H89D w odniesieniu do rozpoznań na przestrzeni lat 2014–2016

ICD-10	Nazwa	Lb. Hospitalizacji			Udział (%)			Mediana czasu pobytu (dni)		
		2014	2015	2016	2014	2015	2016	2014	2015	2016
M15.0	Pierwotnie uogólniona choroba zwyrodnieniowa stawów	4267	4085	3985	17,12	17,67	17,6	8	8	8
M15.8	Inne choroby zwyrodnieniowe wielostawowe	2143	2261	2195	8,6	9,78	9,69	9	9	9
M15.9	Nieokreślone choroby zwyrodnieniowe wielostawowe	1767	1959	1892	7,09	8,47	8,36	7	8	7
M81.0	Osteoporoza pomenopauzalna	1476	924	699	5,92	4	3,09	4	4	4
M48.8	Inne określone spondylopatie	1333	1335	1545	5,35	5,78	6,82	6	6	5
M17.0	Pierwotna obustronna gonartroza	941	936	861	3,78	4,05	3,8	9	8	8
C79.5	Wtórny nowotwór złośliwy kości i szpiku kostnego	814	768	974	3,27	3,32	4,3	7	7	7
M16.0	Pierwotna, obustronna koksartroza	800	835	808	3,21	3,61	3,57	8	8	7
M17.9	Nieokreślona gonartroza	797	695	620	3,2	3,01	2,74	8	7	7
M19.8	Inne określone choroby zwyrodnieniowe	692	587	649	2,78	2,54	2,87	7	7	7
M16.9	Nieokreślona koksartroza	598	552	564	2,4	2,39	2,49	9	7	7
M81.9	Nieokreślona osteoporoza	530	346	274	2,13	1,5	1,21	4	5	6
M81.8	Inna osteoporoza	489	317	0	1,96	1,37	0	4	4	0
T84.0	Mechaniczne powikłanie wewnętrznych protez stawów	482	474	484	1,93	2,05	2,14	8	7	7
M48.9	Nieokreślone spondylopatie	450	397	530	1,81	1,72	2,34	6	7	7
M95.9	Nabyte zniekształcenia układu mięśniowo-szkieletowego, nie określone	387	371	334	1,55	1,6	1,47	4	4	4
M25.8	Inne określone choroby stawów	333	302	320	1,34	1,31	1,41	7	7	6

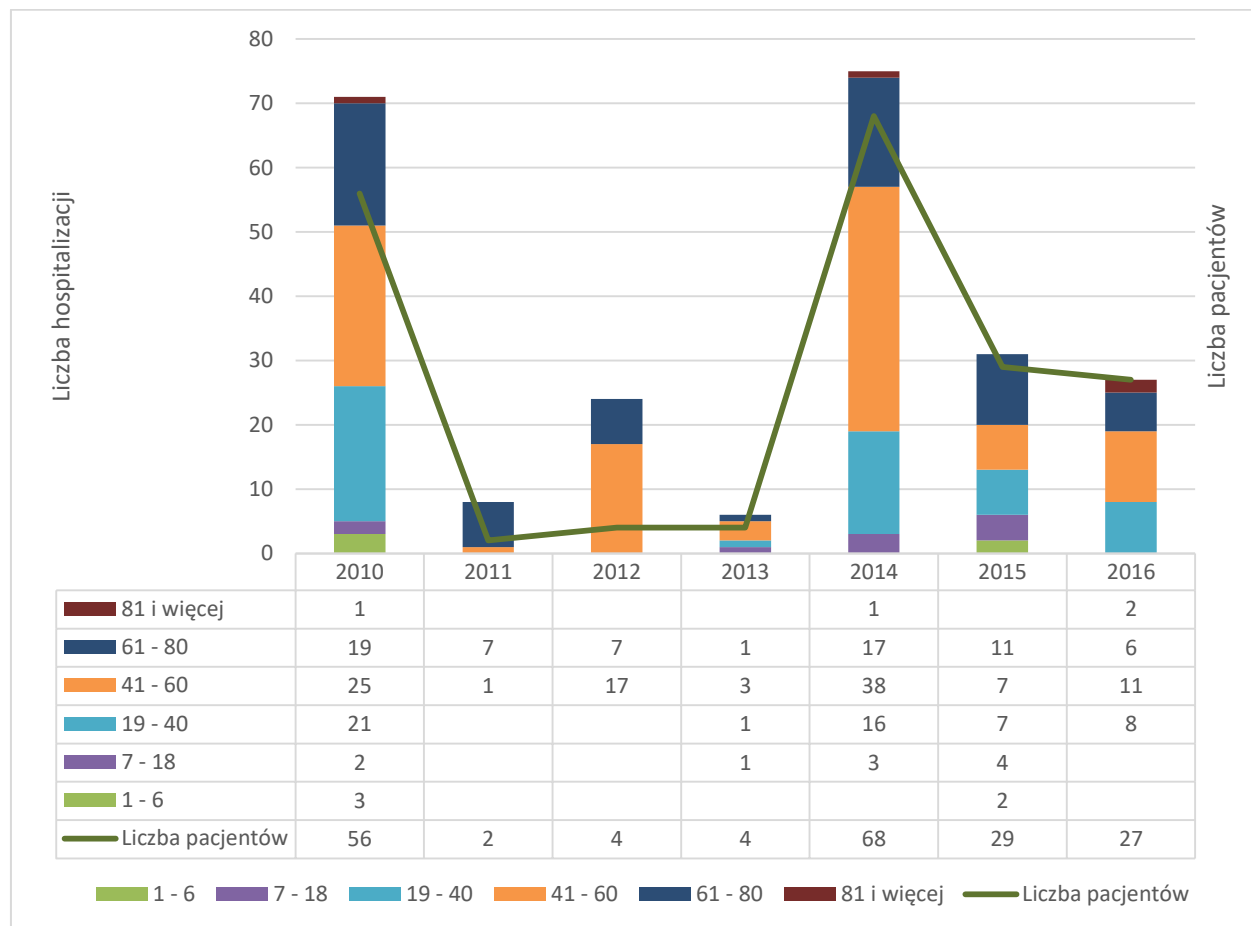


ICD-10	Nazwa	Lb. Hospitalizacji			Udział (%)			Mediana czasu pobytu (dni)		
		2014	2015	2016	2014	2015	2016	2014	2015	2016
M80.0	Osteoporoza pomenopauzalna ze złamaniem patologicznym	329	488	527	1,32	2,11	2,33	5	6	5
M24.5	Przykurcz stawu	316	326	285	1,27	1,41	1,26	5	4	5
M80.9	Nieokreślona osteoporoza ze złamaniem patologicznym	0	263	323	0	1,14	1,43	0	7	6
M80.8	Inna osteoporoza ze złamaniem patologicznym	0	237	0	0	1,03	0	0	6	0

Źródło: opracowanie własne na podstawie danych NFZ (NFZ, 2017)

## H90

JGP H90 została wydzielona w 2010 roku i służy rozliczaniu hospitalizacji pacjentów z zapaleniem stawów i układowymi chorobami tkanki łącznej, którzy wymagają intensywnego leczenia > 10 dni. Liczba hospitalizacji jest zmienna i osiągnęła maksymalną wartość 75 w roku 2013, natomiast minimalną wartość 6 osiągnęła w 2013 roku. Mimo zmiennej liczby hospitalizacji i struktury wieku, największa liczba hospitalizacji dotyczyła w każdym z analizowanych lat osób z grupy wiekowej 41–60. Szczegółowe dane zostały przedstawione na poniższym wykresie.



**Rysunek 19.** Liczba pacjentów oraz liczba hospitalizacji rozliczonych w ramach JGP H90 na przestrzeni lat 2009–2016 (NFZ, 2017)

Liczba hospitalizacji zdecydowanie przekracza liczbę pacjentów w każdym z analizowanych lat, poza rokiem 2016, w którym współczynnik rehospitalizacji wyniósł 1. W latach 2010–2015 odsetek powtórnych hospitalizacji mieścił się w zakresie mieszczącym się w zakresie 7%–500%. Szczegółowe dane przedstawiono w poniższej tabeli.

**Tabela 33** Współczynnik rehospitalizacji dla grupy H90 na przestrzeni lat 2009–2016

Rok	2010	2011	2012	2013	2014	2015	2016
Współczynnik rehospitalizacji	1,27	4	6	1,5	1,1	1,07	1

Źródło: opracowanie własne na podstawie danych NFZ (NFZ, 2017)

Ze względu na niewielką liczbę hospitalizacji udział JGP H90 w sekcji H nie przekroczył 0,01% w żadnym z analizowanych lat.

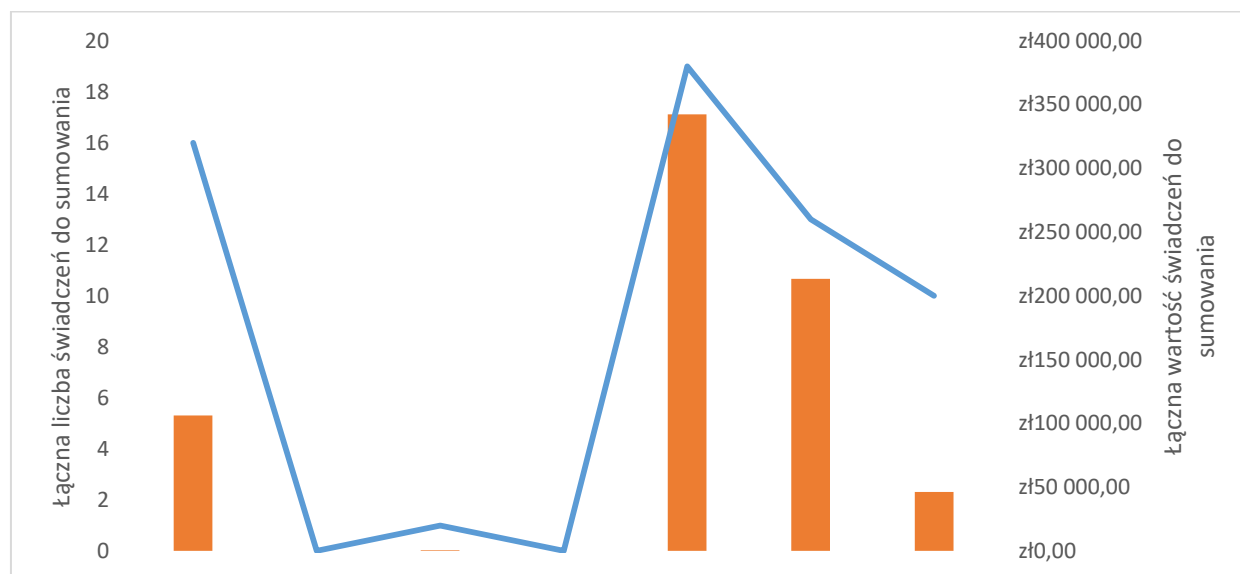
Obserwuje się duże zróżnicowanie średniej wartości grupy pomiędzy różnymi typami świadczeniodawców, zwłaszcza w 2015 i 2016 roku, gdzie średnia wartość grupy była wyższa niemal o 3 000 zł w szpitalach wojewódzkich w porównaniu ze szpitalami klinicznymi. Szczegółowe dane znajdują się w poniższej tabeli.

**Tabela 34 Wartość grupy H90 w podziale na typy świadczeniodawców na przestrzeni lat 2009–2016**

Rok/Typ szpitala	Gminny, powiatowy, miejski	Niepubliczne	Kliniczne	Wojewódzkie	Wszystkie typy szpitali
2010	6 120,00 zł		6 872,57 zł	6 956,40 zł	6 667,69 zł
2011	6 120,00 zł		6 120,00 zł		6 120,00 zł
2012	6 240,00 zł		6 240,00 zł		6 240,00 zł
2013	6 240,00 zł		6 240,00 zł		6 240,00 zł
2014	6 240,00 zł		6 568,14 zł	6 656,00 zł	6 576,96 zł
2015	6 240,00 zł	6 240,00 zł	6 420,63 zł	9 609,60 zł	7 437,68 zł
2016			6 383,00 zł	9 360,00 zł	6 713,78 zł

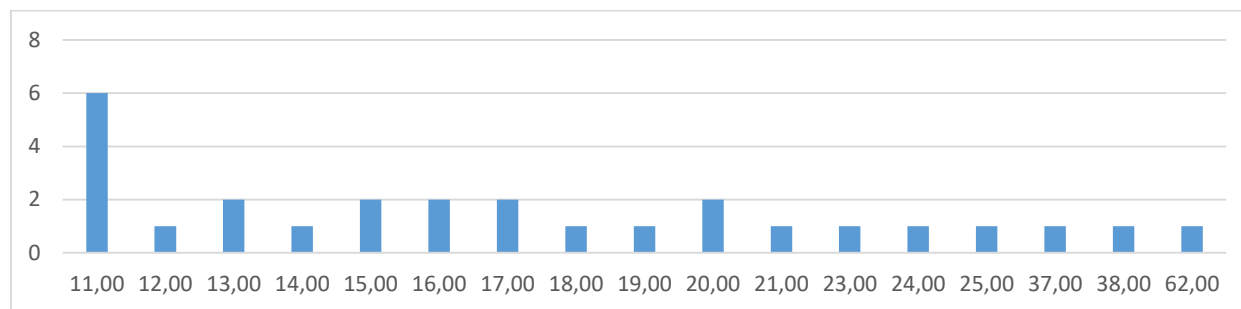
Źródło: opracowanie własne na podstawie danych NFZ (NFZ, 2017)

Średnia wartość hospitalizacji była bardzo zmienna na przestrzeni analizowanych lat. Wśród świadczeń do sumowania znajdowały się: przetoczenia preparatów krwi i innych substancji, leczenie żywieniowe oraz pozostałe świadczenia. Szczegółowe dane przedstawia poniższy wykres.



**Rysunek 20. Liczba i wartość świadczeń do sumowania w grupie H90 na przestrzeni lat 2009–2016 (NFZ, 2017)**

Ponieważ do 2014 roku warunkiem rozliczenia nie była hospitalizacja przekraczająca 10 dni, ciężko sformułować wnioski na temat długości pobytu. Mimo to poniżej przedstawiono histogram czasu pobytu w 2016 roku.



**Rysunek 21.** Histogram czasu pobytu dla grupy H90 w 2016 r. (opracowanie własne na podstawie danych z bazy NFZ za 2016 r.)

Zgodnie z obowiązującym na czas publikacji Raportu Zarządzeniem Prezesa NFZ, świadczenia rozliczane w ramach JGP H90 mogą być rozliczane na 3 rodzajach oddziałów: reumatologii, reumatologii dla dzieci oraz pediatrii. Ze względu na niewielką i zmienną liczbę pacjentów, udział hospitalizacji w poszczególnych typach oddziałów jest również zmienny.

**Tabela 35** Odsetek hospitalizacji dla JGP H90 w latach 2009–2016 w podziale na poszczególne zakresy udzielania świadczeń (%)

Zakres świadczeń	Udział %						
	2010	2011	2012	2013	2014	2015	2016
03.4280.030.02 - Reumatologia - Hospitalizacja	60,56	100	100	83,33	97,33	80,65	100
03.4000.030.02 - Choroby Wewnętrzne - Hospitalizacja	18,31	0	0	0	0	0	0
03.4340.030.02 - Choroby Zakaźne - Hospitalizacja	9,86	0	0	0	0	0	0
03.4281.030.02 - Reumatologia Dziecięca - Hospitalizacja	5,63	0	0	0	1,33	0	0
03.4220.030.02 - Neurologia - Hospitalizacja	4,23	0	0	0	0	0	0
03.4401.030.02 - Pediatria - Hospitalizacja	1,41	0	0	16,67	1,33	19,35	0

Źródło: opracowanie własne na podstawie danych NFZ (NFZ, 2017)

Podobnie jak w przypadku typu oddziału, ze względu na dużą zmienność dotyczącą liczby hospitalizacji, zmienne są również odsetki dotyczące trybu przyjęcia na przestrzeni analizowanych lat.

Struktura rozpoznań w grupie H90 w latach 2010 – 2016 jest zróżnicowana. W analizowanym okresie najczęściej hospitalizacji w poszczególnych latach wiązało się z reumatoidalnym zapaleniem stawów z zajęciem innych narządów i układów (M05.3). Ogółem najdłuższy czas pobytu (mediana) wynosił 46 dni i został odnotowany w związku z rozpoznaniem innych postaci uogólnionej padaczki i zespołów padaczkowych (G40.4). Należy jednak nadmienić, iż rozpoznanie to sprawozdawano jedynie w 2014 roku.

Szczegółowe informacje znajdują się w poniższej tabeli.

Tabela 36 Struktura grupy H90 w odniesieniu do rozpoznań na przestrzeni lat 2010–2016

ICD-10	Nazwa	Lb. Hospitalizacji							Udział (%)							Mediana czasu pobytu (dni)						
		2010	2011	2012	2013	2014	2015	2016	2010	2011	2012	2013	2014	2015	2016	2010	2011	2012	2013	2014	2015	2016
G43.0	Migrena bez aury [migrena prosta]	8	7	17	1				11,27	87,5	70,83	16,67				2	3	2	2			
N18.8	Inna przewlekła niewydolność nerek	8	1			10		3	11,27	12,5			13,33		11,11	12	14			13		16
G05.8	Zapalenie mózgu, zapalenie rdzenia kręgowego oraz zapalenie mózgu i rdzenia kręgowego w innych chorobach sklasyfikowanych gdzie indziej	7							9,86							13						
G63.5	Polineuropatia w układowych stanach chorobowych tkanki łącznej (M30-M35+)	7		5	3	5		2	9,86		20,83	50	6,67		7,41	2		2	2	14		18
N18.0	Schyłkowa niewydolność nerek	7		1		5			9,86		4,17		6,67			12		9		16		
D59.1	Inne niedokrwistość i autoimmunohemolityczne	6				2		5	8,45				2,67		18,52	26				25		23

J99.1	Zaburzenia układu oddechowego w innych rozlanych (układowych) chorobach tkanki łącznej	6			1	14		3	8,45			16,67	18,67		11,11	13			3	15		11
G70.8	Inne określone zaburzenia mięśniowo-nerwowe	4		1		2		1	5,63		4,17		2,67		3,7	7		4		16		13
M31.8	Inne określone martwicze choroby naczyń krwionośnych	4	1			14	7	4	5,63	12,5			18,67	22,58	14,81	15	14			14	23	15
N17.8	Inna ostra niewydolność nerek	4							5,63							44						
D59.4	Inne niedokrwistość i hemolityczne nieautoimmunologiczne	3						1	4,23						3,7	14						16
I27.8	Inne określone zespoły sercowo-płucne	3				5			4,23				6,67			11				15		
I32.8	Zapalenie osierdza w innych chorobach sklasyfikowanych gdzie indziej	2				1		1	2,82				1,33		3,7	14				15		11
E85.9	Amyloidozą, nie określona	1				1			1,41				1,33			8				20		
F23.8	Inne ostre i przemijające zaburzenia psychiczne	1				2			1,41				2,67			30				14		

G40.9	Padaczka, nie określona	1				1			1,41				1,33			27				19		
G41.9	Stan padaczkowy, nie określony	1							1,41							29						
G70.0	Miastenia ciężka rzekomoporażna	1							1,41							8						
G70.9	Zaburzenia mięśniowo-nerwowe, nie określone	1						6	1,41						22,22	13					12	
N17.9	Ostra niewydolność nerek, nie określona	1				2		2	1,41				2,67		7,41	19				39	13	
M05.3	Reumatoidalne zapalenie stawów z zajęciem innych narządów i układów	16	7	23	4	5	1	3	22,54	87,5	95,83	66,67	6,67	3,23	11,11	2	3	2	2	14	12	24
M31.0	Alergiczne zapalenie naczyń	7				1			9,86				1,33			13				13		
M32.8	Inne postacie tocznia rumieniowatego układowego	5		1	1	18	8	4	7,04		4,17	16,67	24	25,81	14,81	22		9	3	18	15	17
M06.1	Choroba Still'a u osoby dorosłej	3				3		1	4,23				4		3,7	13				20		20
M32.1	Toczeń rumieniowaty układowy z zajęciem narządów Choroba	3			1	3		1	4,23			16,67	4		3,7	19			4	15		21

	Libman-Sacksa (139.-*)																			
M34.9	Nieokreślona twardzina układowa	3				8	2	1	4,23				10,67	6,45	3,7	17				
M34.0	Postępująca twardzina uogólniona	2				1	1	1	2,82				1,33	3,23	3,7	12				
M35.0	Zespół suchości [Zespół Sjögrena]	2				5	2	2	2,82				6,67	6,45	7,41	10				
M31.4	Zespół tuku aorty [Zespół Takayasu]	1				2		1	1,41				2,67		3,7	11				
M33.2	Zapalenie wielomięśniowe	1				2	4	5	1,41				2,67	12,9	18,52	23				
G40.0	Padaczka samoistna (ogniskowa) (częściowa) i zespoły padaczkowe z napadami o zlokalizowanym początku				1							16,67						4		
M33.1	Inne zapalenia skórno-mięśniowe					7	3	3					9,33	9,68	11,11					
M30.1	Guzkowe zapalenie naczyń z zajęciem płuc [Zespół Churg-Straussa]					2							2,67							
M05.1	Reumatoidalna choroba płuc (J99.0*)					1	1						1,33	3,23						
M30.0	Guzkowe zapalenie naczyń					1							1,33							



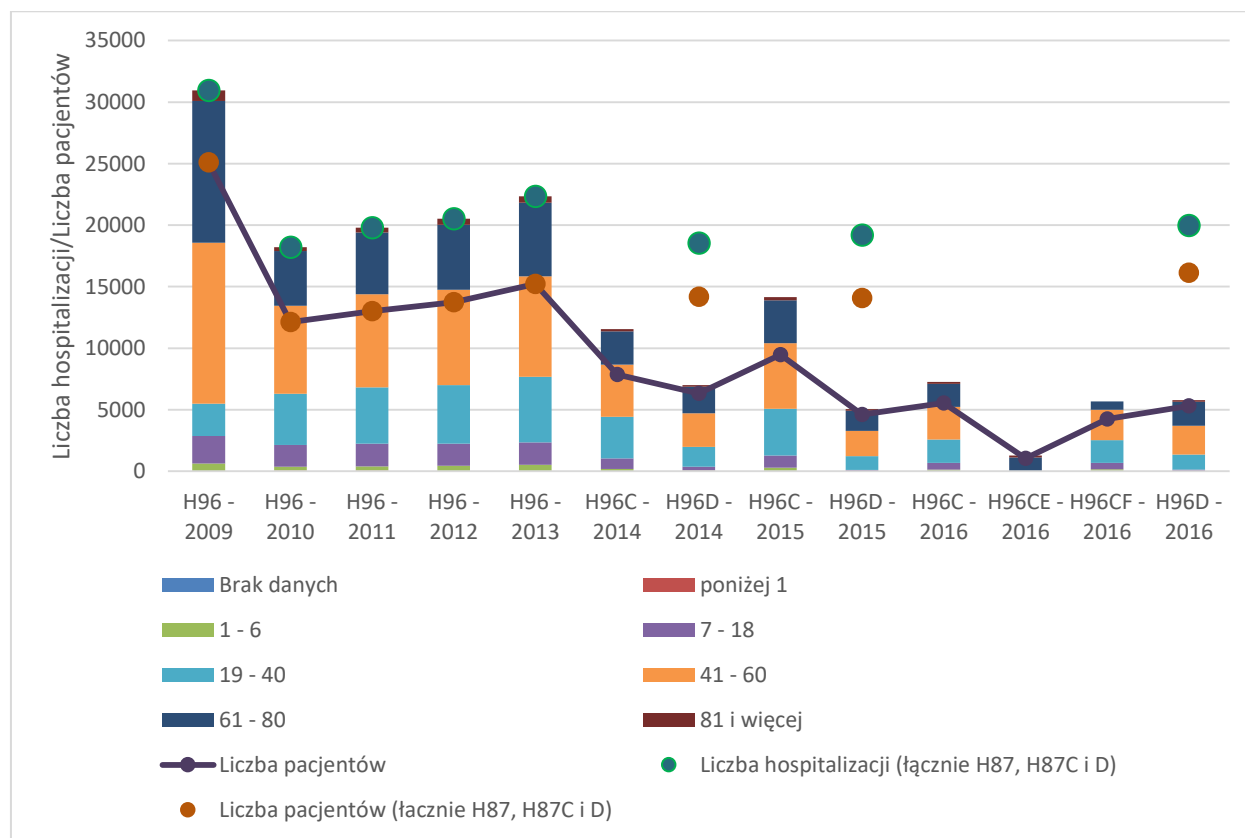
M34.1	Zespół CR(E)ST					1						1,33							12	
M34.8	Inne postacie stwardnienia układowego					1		1				1,33		3,7					21	11
I27.0	Pierwotne nadciśnienie płucne					3		1				4		3,7					12	38
I64	Udar, nie określony jako krwotoczny lub zawałowy					3						4							14	
N08.5	Zaburzenia kłębuszków nerkowych w przebiegu układowych chorób tkanki łącznej					3		1				4		3,7					17	20
G40.8	Inne padaczki					2						2,67							14	
G43.8	Inne migreny					2						2,67							23	
D65	Rozsiane wykrzepianie wewnątrznaczyniowe					1						1,33							28	
G40.4	Inne postacie uogólnionej padaczki i zespołów padaczkowych					1						1,33							46	
G45.9	Przemijające mózgowe napady niedokrwienia, nie określone					1						1,33							12	
G53.8	Inne zaburzenia nerwów czaszkowych w innych chorobach					1						1,33							15	

	sklasyfikowany ch gdzie indziej																			
I41.8	Zapalenie mięśnia sercowego w innych chorobach sklasyfikowany ch gdzie indziej					1							1,33							11
G45.6	Inne przemijające mózgowe napady niedokrwienia i zespoły pokrewne					1							1,33							15
M30. 3	Zespół śluzówkowo- skórno- węzłowy [Choroba Kawasaki]						2						6,45							12

Źródło: opracowanie własne na podstawie danych NFZ (NFZ, 2017)

## H96C, CE, CF i D

Na poniższym wykresie przedstawiono liczbę hospitalizacji rozliczonych w ramach JGP H96C, H96CE, H96CF i H96D na przestrzeni lat 2009–2016. Pierwotnie istniała jedna grupa H96, z której w 2014 roku zostały wydzielone grupy H96C oraz H96D (według kryterium długości pobytu). Dodatkowo w 2016 roku z grupy H96C zostały wydzielone 2 JGP: H96CE oraz H96CF (według kryterium wieku, bez odnoszenia się do długości pobytu). Największa liczba hospitalizacji miała miejsce w 2009 roku, następnie spadła w 2010 roku i stopniowo narastała do roku 2013. Po podziale grup w 2014 roku liczba hospitalizacji ponownie się zmniejszyła – od tego momentu obserwuje się lekką tendencję wzrostową. Wahania dotyczące liczby hospitalizacji znajdują swoje odzwierciedlenie w udziale przedmiotowych JGP w sekcji H (porównaj poniższa tabela).



**Rysunek 22.** Liczba pacjentów oraz liczba hospitalizacji rozliczonych w ramach JGP H96C, CE, CF i D na przestrzeni lat 2009–2016 (NFZ, 2017)

**Tabela 37** Udział grupy H96, H96C, CE, CF i D w sekcji H na przestrzeni lat 2009–2016

JGP/Rok	2009	2010	2011	2012	2013	2014	2015	2016
H96	4,85%	2,79%	2,98%	3,09%	3,39%			
H96C						1,86%	2,25%	
H96CE								bd*
H96CF								bd*
H96D						1,13%	0,80%	0,91%
Łącznie H96, H96C i H96D	4,85%	2,79%	2,98%	3,09%	3,39%	2,99%	3,05%	0,91%

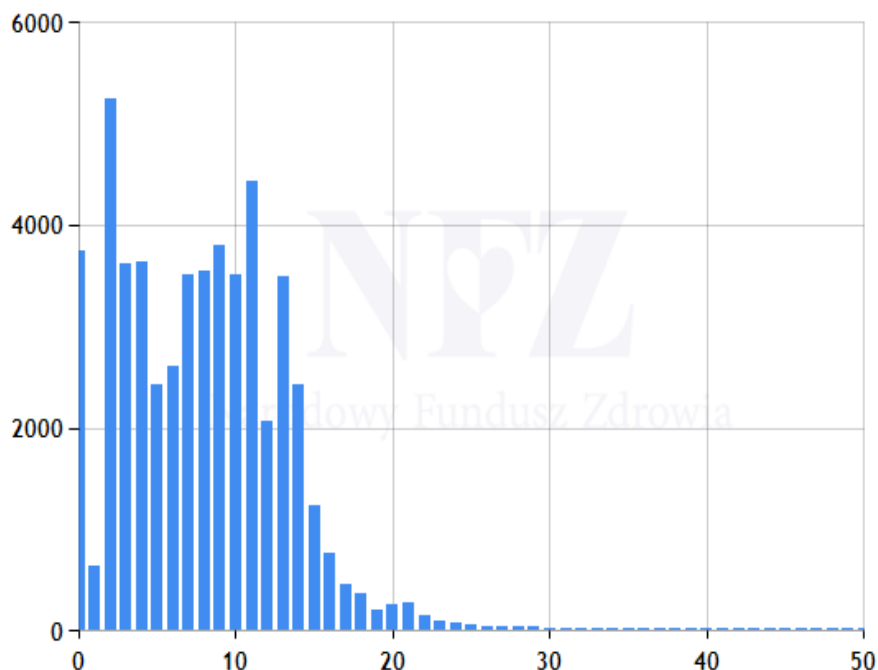
\* brak danych w statystykach JGP pochodzących ze strony internetowej

Źródło: opracowanie własne na podstawie danych NFZ (NFZ, 2017)

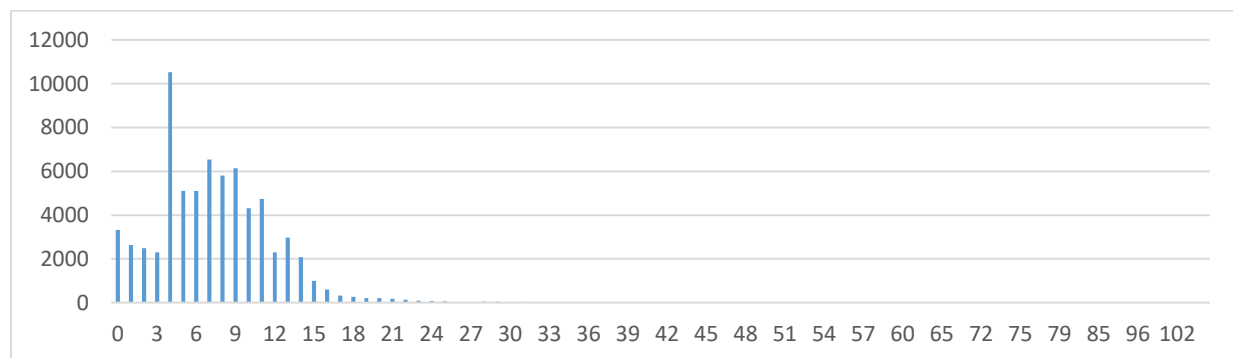
Należy zauważyć, że w każdym z analizowanych lat liczba hospitalizacji przekracza liczbę pacjentów – odsetek rehospitalizacji oscylował wokół wartości 39%, przy czym maksimum osiągnął w 2009 r. (50%) zaś minimum w 2016 r. (24% dla JGP H96CE, H96CF oraz H96D łącznie).

Największa liczba hospitalizacji dotyczy osób z grupy wiekowej 41–60. Struktura udzielanych świadczeń w odniesieniu do poszczególnych kategorii wiekowych pozostaje podobna na przestrzeni lat (przy zastrzeżeniu analizowania danych dla H96CE oraz H96CF łącznie).

Na poniższych rysunkach przedstawiono dla porównania histogramy czasu pobytu dla grupy H96 sprzed podziału i w 2016 r. Można zaobserwować, że po wydzieleniu poszczególnych JGP znacznie wzrosła liczba hospitalizacji 4-dniowych.



**Rysunek 23.** Histogram czasu pobytu dla grupy H96 w 2013 r. (NFZ, 2017)



**Rysunek 24.** Histogram czasu pobytu dla grupy H96C, CF, CE oraz D w 2016 r. [opracowanie własne na podstawie danych NFZ (NFZ, 2017)]

Ze względu na brak wielu danych na stronie internetowej NFZ, nie jest możliwa tak szczegółowa analiza jak w przypadku innych JGP (dostępne są dane dla JGP H96 za okres 2009–2013, dla JGP H96C za okres 2014–2015 oraz dla JGP H96D za okres 2014–2016; brak danych dla JGP H96C w 2016 roku oraz dla HGP H96CE oraz CF w 2016 r.).

Struktura rozpoznań w grupie H96 w latach 2009 – 2013 jest zróżnicowana. W analizowanym okresie najczęściej hospitalizacji w poszczególnych latach wiązało się z innym sero-dodatnim reumatoidalnym zapaleniem stawów (M05.8). Również z tym rozpoznaniem łączył się najdłuższy czas pobytu. Należy jednak zaznaczyć, iż hospitalizacje związane z tym rozpoznaniem sprawozdawane były jedynie w 2009 roku. Jeśli chodzi o grupę H96C, w latach 2014 – 2015 najczęściej hospitalizacji związanych było z nieokreślonym układowym zajęciem tkanki łącznej (M35.9). Udział tego rozpoznania na tle pozostałych sprawozdawanych hospitalizacji w ramach tej grupy w obu latach wynosił około 23%. Najdłuższy czas hospitalizacji rozliczanej w ramach grupy H96C wiązał się natomiast z polimialgią reumatyczną (M35.3). W obu analizowanych latach mediana czasu pobytu wyniosła 7 dni. Nieco inaczej sytuacja przedstawiała się w przypadku grupy H96D. Najczęstszą przyczyną hospitalizacji w latach 2014 – 2016 było nieokreślone układowe zajęcie tkanki łącznej (M35.9). Udział tego rozpoznania na tle pozostałych rozpoznań stanowiących przyczynę hospitalizacji w rozliczanych ramach grupy H96D wyniósł we wszystkich analizowanych latach ponad 22%. Najdłuższy czas pobytu wiązał się jednak z rozpoznaniem takimi jak polimialgia reumatyczna (M35.3) oraz nieokreślone martwicze choroby naczyń krwionośnych (M31.9).

Szczegółowe informacje znajdują się w poniższych tabelach.

Tabela 38 Struktura grupy H96 w odniesieniu do rozpoznań na przestrzeni lat 2009–2013

ICD-10	Nazwa	Lb. hospitalizacji					Udział (%)					Mediana czasu pobytu (dni)				
		2009	2010	2011	2012	2013	2009	2010	2011	2012	2013	2009	2010	2011	2012	2013
M05.8	Inne sero-dodatnie reumatoidalne zapalenie stawów	14150					45,7					12				
M05.9	Sero-dodatnie reumatoidalne zapalenie stawów, nie określone	6022					19,45					9				
M06.0	Surowiczoujemne reumatoidalne zapalenie stawów	3630					11,72					11				
M06.9	Reumatoidalne zapalenie stawów, nie określone	1777					5,74					8				
M05.3	Reumatoidalne zapalenie stawów z zajęciem innych narządów i układów	1067	1580	1384	1122	844	3,45	8,68	6,99	5,47	3,78	10	11	10	8	7
M08.0	Młodzieńcze reumatoidalne zapalenie stawów	912					2,95					4				
M08.9	Młodzieńcze zapalenie stawów, nie określone	856					2,76					2				
M06.8	Inne określone reumatoidalne zapalenie stawów	646					2,09					9				
M08.3	Młodzieńcze zapalenie wielu stawów (sero-ujemne)	557					1,8					4				
M06.4	Zapalenie wielu stawów	427					1,38					7				
M08.8	Inne młodzieńcze zapalenia stawów	324					1,05					4				
M35.9	Nieokreślone układowe zajęcie tkanki łącznej		3097	3337	3773	4838		17,02	16,85	18,39	21,65		6	6	5	5
M32.8	Inne postacie tocznia rumieniowatego układowego		2318	2487	2280	2170		12,74	12,56	11,11	9,71		4	4	5	5
M32.9	Nieokreślony toczeń rumieniowaty układowy		1894	2045	2095	2303		10,41	10,33	10,21	10,31		4	4	4	4
M35.0	Zespół suchości [Zespół Sjögrena]		1299	1241	1312	1452		7,14	6,27	6,4	6,5		6	6	6	6
M35.8	Inne określone układowe zajęcie tkanki łącznej		1152	1117	1215	1435		6,33	5,64	5,92	6,42		6	6	6	5

ICD-10	Nazwa	Lb. hospitalizacji					Udział (%)					Mediana czasu pobytu (dni)				
		2009	2010	2011	2012	2013	2009	2010	2011	2012	2013	2009	2010	2011	2012	2013
M34.0	Postępująca twardzina uogólniona		1088	1469	1430	1564		5,98	7,42	6,97	7		4	4	3	3
M35.3	Polimialgia reumatyczna		970	1125	1291	1377		5,33	5,68	6,29	6,16		10	10	10	9
M35.1	Inne zespoły nakładające się		798	851	848	887		4,39	4,3	4,13	3,97		7	7	7	6
M34.9	Nieokreślona twardzina układowa		597	769	784	926		3,28	3,88	3,82	4,14		4	4	4	4
M33.2	Zapalenie wielomięśniowe		488	471	513	571		2,68	2,38	2,5	2,56		5	7	6	6
M31.8	Inne określone martwice choroby naczyń krwionośnych		415	529	658	768		2,28	2,67	3,21	3,44		6	5	4	5
M33.1	Inne zapalenia skórno-mięśniowe		363	355	360	330		1,99	1,79	1,75	1,48		5	7	6	6
M31.9	Nieokreślone martwice choroby naczyń krwionośnych		316	390	502	575		1,74	1,97	2,45	2,57		5	5	5	4
M32.0	Toczeń rumieniowaty układowy indukowany lekami		299	260				1,64	1,31				4	4	0	0
M30.0	Guzkowe zapalenie naczyń		241	281	256	236		1,32	1,42	1,25	1,06		4	3	2	2
M31.1	Zakrzepowa mikroangiopatia		198					1,09					3			
M06.1	Choroba Still'a u osoby dorosłej		188	205	253	249		1,03	1,04	1,23	1,11		9	8	7	7
M33.0	Młodzieńcze zapalenie skórno-mięśniowe		187					1,03					2			
M33.9	Nieokreślone zapalenia skórno-wielomięśniowe		188		213			1,03		1,04			4		6	

Źródło: opracowanie własne na podstawie danych NFZ (NFZ, 2017)

Tabela 39 Struktura grupy H96C w odniesieniu do rozpoznań na przestrzeni lat 2014–2015

ICD-10	Nazwa	Lb. hospitalizacji		Udział (%)		Mediana czasu pobytu (dni)	
		2014	2015	2014	2015	2014	2015
M35.9	Nieokreślone układowe zajęcie tkanki łącznej	2668	3195	23,1	22,58	2	3
M32.9	Nieokreślony toczень rumieniowaty układowy	1213	1360	10,5	9,61	2	2
M32.8	Inne postacie tocznia rumieniowatego układowego	1143	1359	9,9	9,6	3	3
M34.0	Postępująca twardzina uogólniona	983	1129	8,51	7,98	2	3
M35.0	Zespół suchości [Zespół Sjögrena]	733	1019	6,35	7,2	3	4
M35.8	Inne określone układowe zajęcie tkanki łącznej	721	978	6,24	6,91	3	3
M34.9	Nieokreślona twardzina układowa	543	698	4,7	4,93	3	3

ICD-10	Nazwa	Lb. hospitalizacji		Udział (%)		Mediana czasu pobytu (dni)	
		2014	2015	2014	2015	2014	2015
M35.3	Polimialgia reumatyczna	526	682	4,55	4,82	7	7
M35.1	Inne zespoły nakładające się	440	543	3,81	3,84	3	4
M31.8	Inne określone martwicze choroby naczyń krwionośnych	332	474	2,87	3,35	2	2
M31.9	Nieokreślone martwicze choroby naczyń krwionośnych	279	330	2,42	2,33	3	3
M33.2	Zapalenie wielomięśniowe	280	353	2,42	2,49	3	4
M33.1	Inne zapalenia skórno-mięśniowe	198	255	1,71	1,8	3	4
M30.0	Guzkowe zapalenie naczyń	175	188	1,52	1,33	0	0
M32.1	Toczeń rumieniowaty układowy z zajęciem narządów Choroba Libman-Sacksa (139.-*)	148	172	1,28	1,22	4	4
M33.9	Nieokreślone zapalenia skórno-wielomięśniowe	130		1,13		4	
M05.3	Reumatoidalne zapalenie stawów z zajęciem innych narządów i układów	127		1,1		3	
M06.1	Choroba Still'a u osoby dorosłej	124	175	1,07	1,24	3	5

Tabela 40 Struktura grupy H96D w odniesieniu do rozpoznań na przestrzeni lat 2014–2016

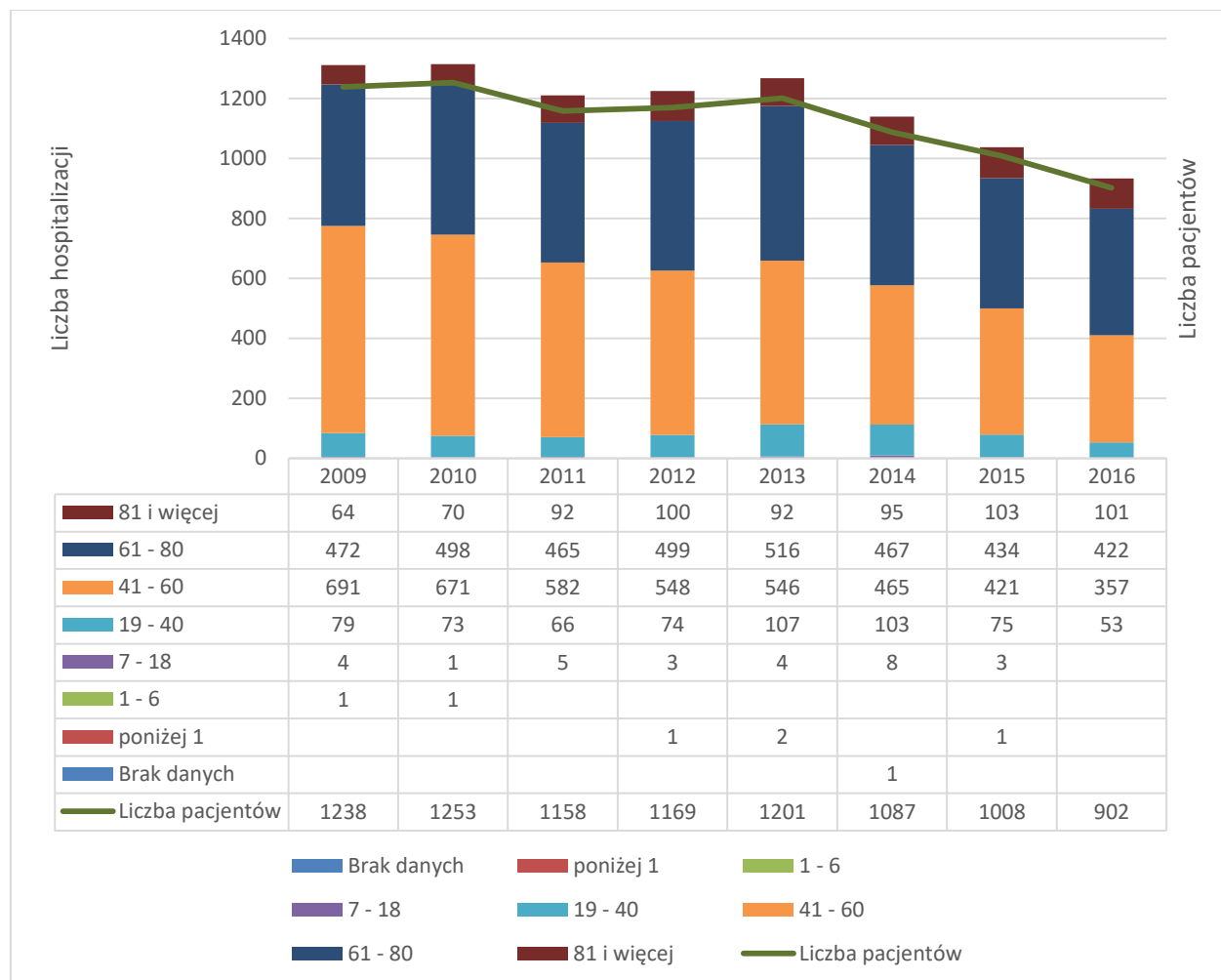
ICD-10	Nazwa	Lb. hospitalizacji			Udział (%)			Mediana czasu pobytu (dni)		
		2014	2015	2016	2014	2015	2016	2014	2015	2016
M35.9	Nieokreślone układowe zajęcie tkanki łącznej	1595	1177	1280	22,8	23,38	22,12	7	8	8
M32.8	Inne postacie tocznia rumieniowatego układowego	631	466	496	9,02	9,26	8,57	8	9	9
M35.8	Inne określone układowe zajęcie tkanki łącznej	628	400	558	8,98	7,94	9,64	7	8	8
M35.0	Zespół suchości [Zespół Sjögrena]	587	379	461	8,39	7,53	7,97	8	8	8
M32.9	Nieokreślony toczeń rumieniowaty układowy	487	376	409	6,96	7,47	7,07	8	9	8
M34.0	Postępująca twardzina uogólniona	464	338	380	6,63	6,71	6,57	7	8	7
M35.3	Polimialgia reumatyczna	447	294	362	6,39	5,84	6,26	10	10	9
M35.1	Inne zespoły nakładające się	339	208	245	4,84	4,13	4,23	8	8	8
M34.9	Nieokreślona twardzina układowa	327	264	333	4,67	5,24	5,75	7	8	7
M31.8	Inne określone martwicze choroby naczyń krwionośnych	270	280	265	3,86	5,56	4,58	6	7	8
M33.2	Zapalenie wielomięśniowe	157	154	146	2,24	3,06	2,52	8	10	9
M05.3	Reumatoidalne zapalenie stawów z zajęciem innych narządów i układów	149	69	122	2,13	1,37	2,11	8	9	8
M31.9	Nieokreślone martwicze choroby naczyń krwionośnych	141	128	137	2,02	2,54	2,37	8	11	10
M33.1	Inne zapalenia skórno-mięśniowe	115	62	82	1,64	1,23	1,42	8	9	10
M34.8	Inne postacie stwardnienia układowego	79	64	71	1,13	1,27	1,23	8	9	7
M32.1	Toczeń rumieniowaty układowy z zajęciem narządów Choroba Libman-Sacksa (139.-*)	78			1,11			7		

Źródło: opracowanie własne na podstawie danych NFZ (NFZ, 2017)



## H98

Na poniższym wykresie przedstawiono liczbę hospitalizacji rozliczonych w ramach JGP H98 na przestrzeni lat 2009–2016.



**Rysunek 25. Liczba pacjentów oraz liczba hospitalizacji rozliczonych w ramach JGP H98 na przestrzeni lat 2009–2016 (NFZ, 2017)**

Liczba hospitalizacji systematycznie maleje na przestrzeni analizowanych lat (spadek o 29% względem roku 2009). Podobna tendencja dotyczy liczby pacjentów oraz udziału JGP w całej sekcji H (porównaj poniższa tabela). Należy przy tym zauważyć, że liczba hospitalizacji osób z przedziału wiekowego 61–80 utrzymuje się na podobnym poziomie, natomiast maleje liczba hospitalizacji osób z przedziału wiekowego 41–60 i rośnie liczba hospitalizacji osób z przedziału wiekowego > 81 r.ż.

**Tabela 41 Udział grupy H98 w sekcji H na przestrzeni lat 2009–2016**

Rok	2009	2010	2011	2012	2013	2014	2015	2016
Udział JGP w sekcji H	0,21%	0,20%	0,18%	0,19%	0,19%	0,18%	0,17%	0,15%

Źródło: opracowanie własne na podstawie danych NFZ (NFZ, 2017)

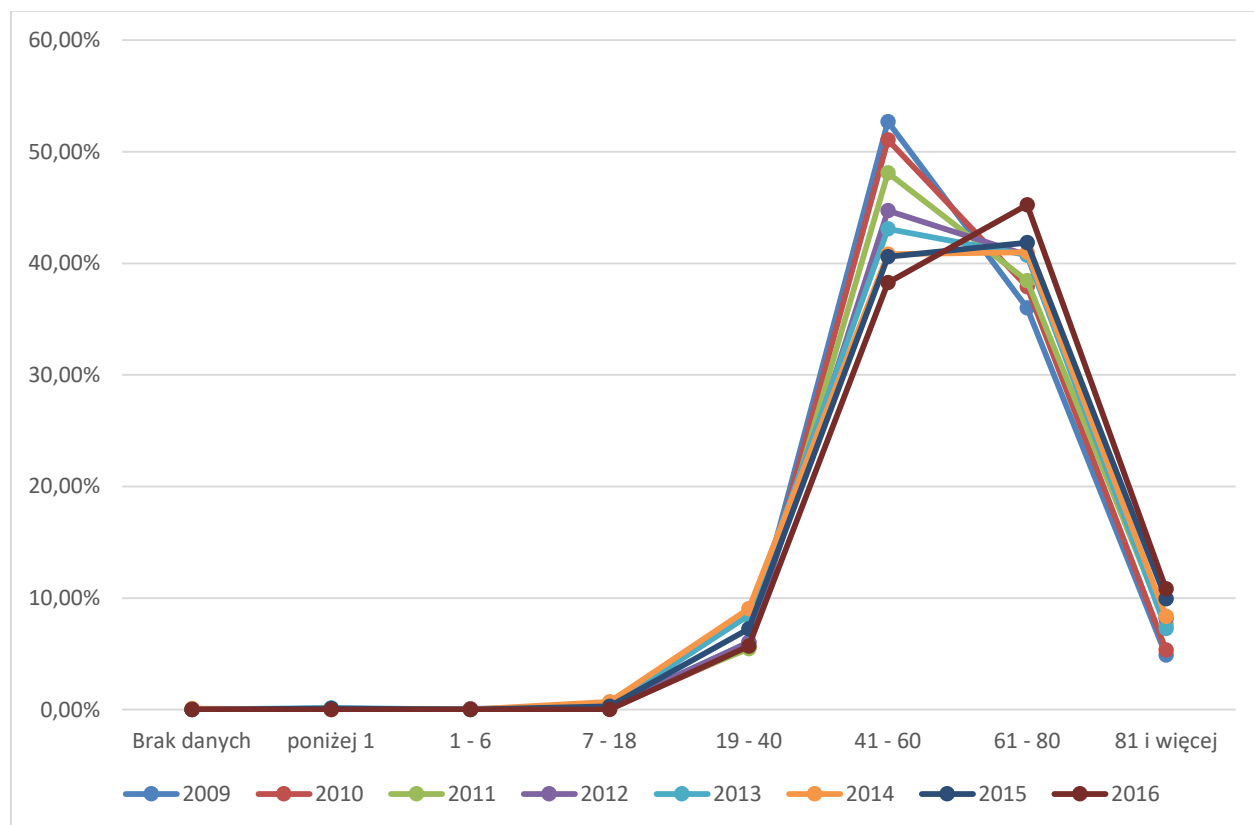
Równocześnie w każdym z analizowanych lat liczba hospitalizacji przekraczała liczbę pacjentów. Współczynnik rehospitalizacji wahał się w zakresie od 3–6% w analizowanym okresie. Szczegółowe dane znajdują się w poniższej tabeli.

**Tabela 42 Współczynnik rehospitalizacji w grupie H98 na przestrzeni lat 2009–2016**

Rok	2009	2010	2011	2012	2013	2014	2015	2016
Współczynnik rehospitalizacji	1,06	1,05	1,04	1,05	1,06	1,05	1,03	1,03

Źródło: opracowanie własne na podstawie danych NFZ (NFZ, 2017)

Na poniższym wykresie przedstawiono jak kształtował się udział poszczególnych grup wiekowych w ogólnej liczbie hospitalizacji na przestrzeni analizowanych lat.



**Rysunek 26. Udział poszczególnych grup wiekowych w ogólnej liczbie hospitalizacji rozliczonych w ramach JGP H98 na przestrzeni lat 2009–2016 (NFZ, 2017)**

W każdym z analizowanych lat największa liczba hospitalizacji odbywała się w szpitalach gminnych, powiatowych, miejskich oraz wojewódzkich, zaś najmniejsza w szpitalach niepublicznych i innych (por. poniższa tabela). W każdym typie szpitali obserwuje się systematyczny spadek liczby hospitalizacji.

**Tabela 43 Liczba hospitalizacji rozliczonych w ramach JGP H98 na przestrzeni lat 2009–2016 w podziale na typy świadczeniodawców**

Rok/Typ szpitala	Gminny, powiatowy, miejski	Niepubliczne	Kliniczne	Wojewódzkie	Inne	Wszystkie typy szpitali
2009	644	76	134	438	19	1 311
2010	621	83	139	447	24	1 314
2011	542	83	145	420	20	1 210
2012	533	94	160	421	17	1 225
2013	551	95	185	417	19	1 267
2014	542	81	138	369	9	1 139
2015	490	69	121	343	14	1 037
2016	439	61	119	296	16	933
Stopa zmiany względem 2009 r. (%)	-31,83%	-19,74%	-11,19%	-32,42%	-15,79%	-28,83%

Źródło: opracowanie własne na podstawie danych NFZ (NFZ, 2017)

W poniższej tabeli przedstawiono średnią wartość grupy w podziale na poszczególne typy szpitali, na przestrzeni analizowanych lat – nie obserwuje się znacznych zmian w odniesieniu do średniej wartości grupy.

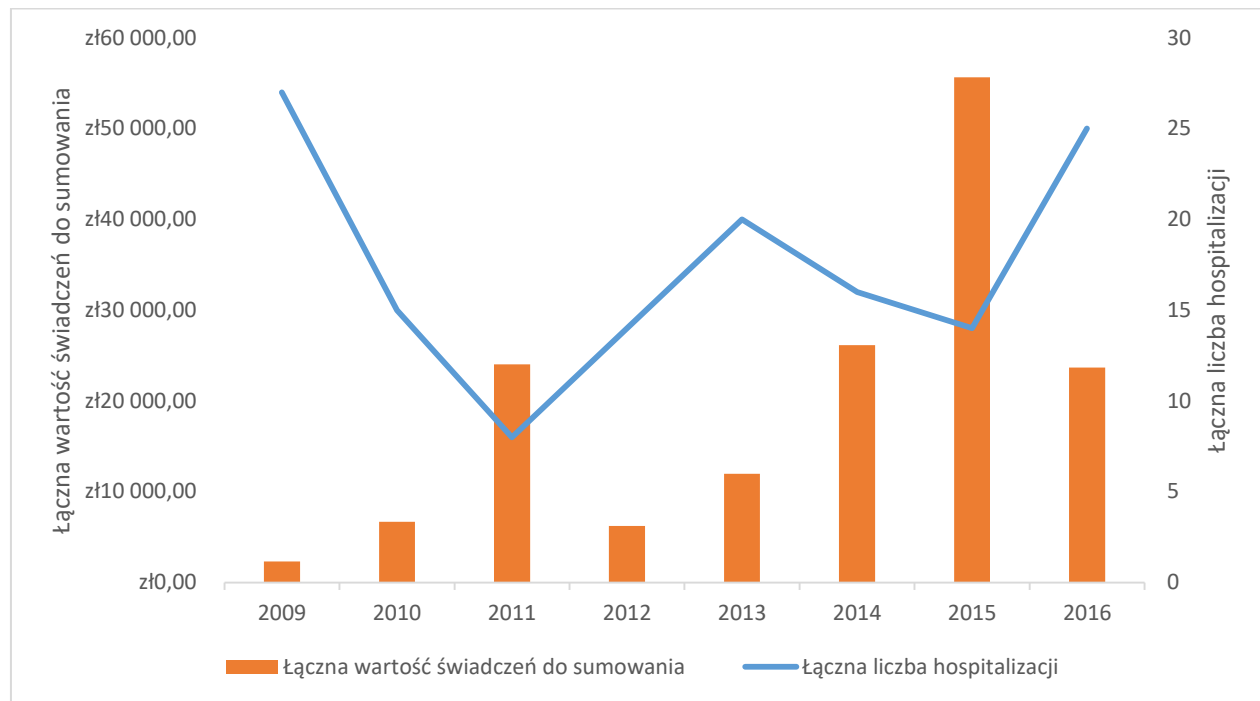
**Tabela 44 Wartość grupy H98 w podziale na typy świadczeniodawców na przestrzeni lat 2009–2016**

Rok/Typ szpitala	Gminny, powiatowy, miejski	Niepubliczne	Kliniczne	Wojewódzkie	Inne	Wszystkie typy szpitali
2009	1 860,87 zł	1 857,21 zł	1 653,89 zł	1 879,31 zł	1 887 zł	1 846,04 zł
2010	1 855,31 zł	1 768,87 zł	1 732,9 zł	1 863,46 zł	1 887 zł	1 840,25 zł
2011	1 872,57 zł	1 898,06 zł	1 762,49 zł	1 869,8 zł	1 887 zł	1 860,41 zł
2012	1 886,32 zł	1 920,52 zł	1 773,39 zł	1 893,59 zł	1 924 zł	1 877,22 zł
2013	1 905,01 zł	1 898,47 zł	1 658,66 zł	1 908,47 zł	1 841,89 zł	1 868,74 zł
2014	1 902,83 zł	1 899,96 zł	1 746,14 zł	1 903,28 zł	1 750,67 zł	1 882,59 zł
2015	1 893,11 zł	1 856,17 zł	1 722,02 zł	1 898,45 zł	1 701,14 zł	1 869,86 zł
2016	1 870,03 zł	1 863,3 zł	1 767,56 zł	1 899,71 zł	1 826,5 zł	1 865,31 zł

Źródło: opracowanie własne na podstawie danych NFZ (NFZ, 2017)

Średnia wartość hospitalizacji była wyższa od średniej wartości grupy średnio o 12 zł w analizowanym okresie (od 2 zł w 2009 roku do 25 zł w 2016 roku).

Na poniższym wykresie przedstawiono liczbę hospitalizacji związaną z rozliczaniem świadczeń do sumowania oraz ich wartość na przestrzeni lat 2009–2016. Wśród świadczeń do sumowania pojawia się: przetoczenie preparatów krwi i innych substancji, rehabilitacja oraz pozostałe świadczenia. Struktura liczby udzielanych do sumowania jest różna w każdym z analizowanych lat.



**Rysunek 27.** Liczba hospitalizacji związana z rozliczaniem świadczeń do sumowania w grupie H98 oraz ich wartość na przestrzeni lat 2009–2016 (NFZ, 2017)

Na przestrzeni analizowanych lat obserwuje się skrócenie mediany hospitalizacji z 9 dni w 2009 roku do 7 dni w 2016 roku. W poniższej tabeli przedstawiono dane dotyczące długości hospitalizacji w podziale na poszczególne kategorie wiekowe. Najdłuższe czasy pobytu dotyczą osób > 81 r.ż.

**Tabela 45** Długość hospitalizacji (mediana) rozliczanych grup H86 na przestrzeni lat 2009–2016 (w dniach)

Rok/Grupa wiekowa	Brak danych	Poniżej 1	1–6	7–18	19–40	41–60	61–80	81 i więcej	Ogółem
2009			4	3	7	10	9	10	9
2010			5	2	5	8	8	7	8
2011				3	7	8	8	8	8
2012		4		2	4	8	8	8	8
2013		4		3	6	7	8	8	7
2014	2			2	5	7	7	7	7
2015		5		5	5	7	7	7	7
2016					5	6	7	7	7

Źródło: opracowanie własne na podstawie danych NFZ (NFZ, 2017)

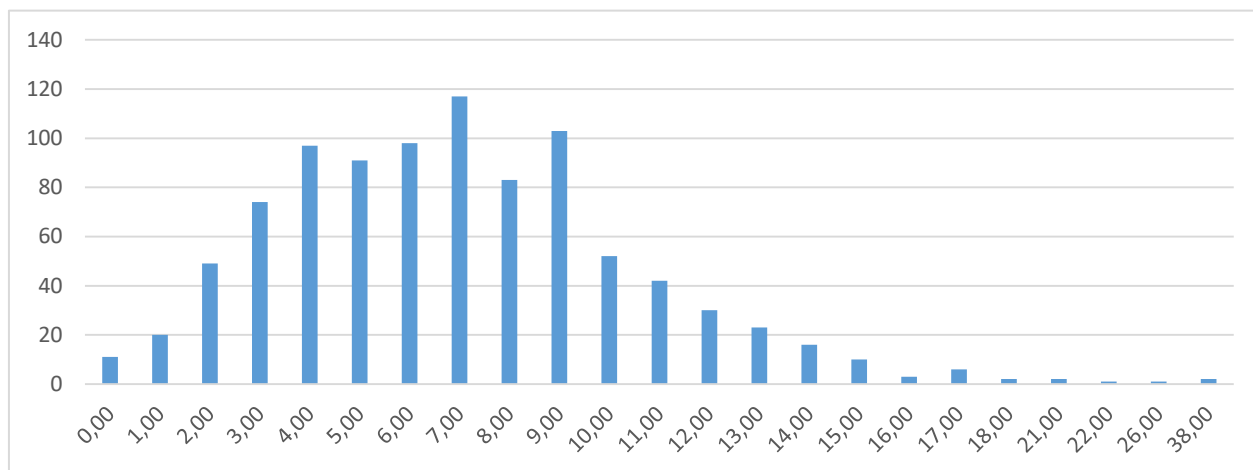
Równocześnie obserwuje się różnice w medianie czasu hospitalizacji pomiędzy poszczególnymi typami świadczeniodawców. Najdłuższe czasy pobytu dotyczą szpitali wojewódzkich – szczegółowe dane znajdują się w poniższej tabeli.

**Tabela 46 Długość hospitalizacji (mediana) rozliczanych grupą H98 na przestrzeni lat 2009–2016 (w dniach) z uwzględnieniem typów świadczeniodawców**

Rok/Typ szpitala	Gminny, powiatowy, miejski	Niepubliczne	Kliniczne	Wojewódzkie	Inne	Wszystkie typy szpitali
2009	9	10	6	12	6	9
2010	8	6	6	11	7	8
2011	7	7	6	11	5	8
2012	7	7	6	10	7	8
2013	7	6	5	9	7	7
2014	7	6	5	9	4	7
2015	7	6	6	8	5	7
2016	7	6	6	8	5	7

Źródło: opracowanie własne na podstawie danych NFZ (NFZ, 2017)

Poniżej przedstawiono histogram czasu pobytu w 2016 roku. Największa liczba dotyczy w pierwszej kolejności hospitalizacji 7-dniowych, na drugim miejscu znajdują się hospitalizacje 9-dniowe.



**Rysunek 28. Histogram czasu pobytu dla grupy H98 w 2016 r. (opracowanie własne na podstawie danych z bazy NFZ za 2016 r.)**

W poniższej tabeli przedstawiono odsetki hospitalizacji rozliczanych w ramach JGP H98 w podziale na poszczególne typy oddziałów. Struktura udzielnych świadczeń w zależności od typu oddziału pozostaje podobna w każdym z analizowanych lat.

**Tabela 47 Zakres świadczeń dla grupy H98 w latach 2009–2016**

Zakres świadczeń	2009	2010	2011	2012	2013	2014	2015	2016
03.4280.030.02 – Reumatologia – Hospitalizacja	62,7	58,75	61,07	63,27	65,67	59,35	58,73	57,98
03.4000.030.02 – Choroby Wewnętrzne – Hospitalizacja	32,72	34,7	32,31	31,43	28,49	33,36	35,87	35,37
03.4580.030.02 – Ortopedia i Traumat. Narz. Ruchu – Hospitalizacja	3,74	5,48	4,96	4,41	3,63	5,09	4,24	4,93

Źródło: opracowanie własne na podstawie danych NFZ (NFZ, 2017)

Liczba hospitalizacji planowych jest wyższa w każdym z analizowanych lat od liczby hospitalizacji z przyczyn nagłych. Odsetek hospitalizacji z przyczyn nagłych mieścił się w zakresie od 37% w 2012 roku do 46%

w 2016 roku, oscylując wokół 41%. Natomiast odsetek przyjęć w trybie planowym mieścił się w zakresie od 54% (w 2015 roku) do 62% (w 2009 roku), oscylując wokół 59%.

Struktura rozpoznań w grupie H98 w latach 2009 – 2016 jest zróżnicowana. W analizowanym okresie najczęściej hospitalizacji w poszczególnych latach wiązało się z idiopatyczną dną moczanową (M10.0). Udział tego rozpoznania w analizowanym okresie wynosił od 45 do 59%. Najdłuższy czas pobytu (mediana) wynosił 13 dni i został odnotowany w związku z rozpoznaniem innych chondrokalcynoz (M11.2).

Szczegółowe informacje znajdują się w poniższej tabeli.

Tabela 48 Struktura grupy H98 w odniesieniu do rozpoznań na przestrzeni lat 2009–2016

ICD-10	Nazwa	Lb. hospitalizacji								Udział (%)								Mediana czasu pobytu (dni)							
		2009	2010	2011	2012	2013	2014	2015	2016	2009	2010	2011	2012	2013	2014	2015	2016	2009	2010	2011	2012	2013	2014	2015	2016
M10.0	Idiopatyczna dna moczanowa	77	741	666	64	656	555	468	445	58,73	56,39	55,4	52,24	51,78	48,73	45,13	47,7	1	9	9	9	8	8	8	7
M10.9	Dna, nieokreślona	431	474	431	48	52	498	479	45	32,88	36,7	35,62	39,18	39,62	43,72	46,19	43,41	7	7	7	7	6	6	6	6
M10.4	Inne wtórne przyczyny dny	48	55	34	28	35	28	2	14	3,66	4,19	2,81	2,29	2,76	2,46	1,93	1,5	8	8	1	1	8	6	7	8
M10.3	Dna spowodowana niewydolnością nerek	23	23	24	34	24	19	3	19	1,75	1,75	1,98	2,78	1,89	1,67	2,89	2,4	7	9	8	7	7	7	6	6
M11.2	Inne chondrokalcy nozy	2	2	22	19	25	21	18	21	1,53	1,52	1,82	1,55	1,97	1,84	1,74	2,25	13	11	9	1	5	1	5	8
M11.9	Nieokreślone artropatie związane z odkładaniem kryształów								13								1,39								6